

SUR LES ACTIONS SYMPLECTIQUES QUASI-PRIMITIVES

NGUIFFO B. BOYOM

UPRES A 5030

Abstract A transitive smooth action of a connected Lie group G on a manifold M is called almost primitive (resp. primitive) if G doesn't contain any proper subgroup (resp. any proper normal subgroup) whose induced action on M is transitive as well. The aim of the present work is to investigate some combinatory properties of symplectic actions of completely solvable Lie groups.

Introduction Les variétés en jeu ainsi que les objets considérés sur ces variétés sont lisses. Une loi d'opération transitive d'un groupe de Lie connexe G sur une variété M est dite quasi-primitive (resp. primitive) si G ne contient pas de sous-groupe propre (resp. sous-groupe distingué propre) dont l'action induite sur M est transitive. Ce travail est consacré à quelques aspects combinatoires des actions symplectiques des groupes de Lie connexes complètement résolubles. Si G est un groupe de Lie connexe complètement résoluble on désigne par $\mathcal{F}(G)$ l'ensemble des suites de composition de G . Toute action symplectique transitive de G détermine une application de $\mathcal{F}(G)$ dans un ensemble de graphes (resp. diagrammes) analogues de graphes (resp. diagrammes) de DYNKIN des groupes de Lie complexes semi-simples. Les caractères quasi-primitif ou primitif de l'action symplectique correspondent à des propriétés particulières de certains diagrammes. On peut y déceler en particulier l'existence ou non de feuilletage symplectique invariant par G ou celle de feuilletage Lagrangien invariant par G .

Ce travail a été motivé par la conjecture des tores plats dont l'énoncé est donné ci-dessous. Soit G un groupe de Lie connexe complètement résoluble contenant un réseau cocompact Γ .

“Si la variété $\Gamma \backslash G$ admet une métrique Kahlérienne alors elle est difféomorphe au tore plat.”

Cette conjecture est vraie si G est nilpotent. La première démonstration est due conjointement à C. BENSON et C. GORDON [BG1]. Une autre démonstration a été publiée par Dusa McDUFF [McD1]. Ces deux démonstrations utilisent des propriétés des groupes de Lie nilpotents qui n'ont pas leur analogue dans les groupes de Lie résolubles généraux. Les outils développés dans ce travail ont pour but de contourner cette difficulté; ils sont utilisés dans [NB6] pour démontrer une variante de la conjecture énoncée ci-dessus et répondre à d'autres questions posées dans [BG2].

L'auteur remercie le référé et un des éditeurs de leur critiques et suggestions.

AMS classification.

Primary : 22E 25, 22E45, 53A10

Secondary : 57S10

Key words : bilagrangiens, diagrammes orientés, graphes, réductions Kahlériennes.

1. GRAPHS ET DIAGRAMMES DES 2-FORMES FERMÉES

Les groupes de Lie considérés sont réels, connexes et simplement connexes. Soit G un tel groupe, on entendra par algèbre de Lie du groupe de Lie G l'espace vectoriel g constitué des champs de vecteurs tangents invariants par les translations à gauche et muni du crochet de Poisson des champs de vecteurs. On désignera par $\Omega_{\ell}^2(G)$ l'espace vectoriel des 2-formes différentielles fermées qui sont invariantes par les translations à gauche.

1.1. Graphes d'une 2-forme fermée.

Soit G un groupe de Lie complètement résoluble dont l'algèbre de Lie est notée g . On désigne par $\mathcal{F}(G)$ l'ensemble des suites de composition dans G . Un élément $F \in \mathcal{F}(G)$ est une filtration de G par des sous-groupes G_k , $\leq k \leq \dim G$, qui jouissent des propriétés suivantes

$$(i) \quad \dim G_k = k;$$

$$(ii) \quad G_k \text{ est un sous groupe distingué dans } G_{k+1}$$

Une filtration F qui satisfait les propriétés (i) et (ii) ci-dessus sera dite *normale* lorsque chaque G_k est distingué dans G ; F est alors appelé suite de Jordan-Hölder de G ; . Un groupe complètement résoluble possède des suites de compositions normales et réciproquement l'existence d'une suite de composition normale entraîne la complète résolubilité .

On considère $\omega \in \Omega_{\ell}^2(G)$ et $F \in \mathcal{F}(G)$; soit $i_k : G_k \rightarrow G$ l'homomorphisme inclusion de G_k dans G et soit $\omega_k = i_k^* \omega$. Si g_k est l'algèbre de Lie de G_k , on note h_k le sous-espace vectoriel des $\xi \in g_k$ solutions de $i(\xi)\omega_k = 0$; $i(\xi)$ est le produit intérieur par ξ .

Puisque ω_k est fermée, h_k est une sous-algèbre de Lie de l'algèbre de Lie g_k . On désignera par H_k le sous-groupe de Lie connexe associé à la sous-algèbre h_k . On associe ainsi au couple (ω, F) la famille des triplets $[G_k, H_k, \omega_k]$. Les sous-groupes G_k , H_k sont fermés dans G , puisque ce dernier est simplement connexe. De la complète résolubilité de G , on déduit l'existence de relation d'inclusion entre les deux sous-groupes H_k et H_{k+1} (voir [NB 4], [NB 5]). On a donc nécessairement un des deux diagrammes commutatifs d'homomorphismes de groupes de Lie suivants

$$(1) \quad \begin{array}{ccc} H_k & \rightarrow & H_{k+1} \\ \downarrow & & \downarrow \\ G_k & \rightarrow & G_{k+1}, \end{array}$$

$$(2) \quad \begin{array}{ccc} H_k & \leftarrow & H_{k+1} \\ \downarrow & & \downarrow \\ G_k & \rightarrow & G_{k+1} \end{array}$$

Naturellement les flèches sont des homomorphismes inclusion.

On désigne par M_k le quotient G_k/H_k des classes à droite modulo H_k des éléments de G_k ; M_k hérite de $[G_k, H_k, \omega_k]$ d'une 2-forme symplectique qu'on notera encore ω_k . Naturellement (M_k, ω_k) est une variété symplectique homogène sous l'action à gauche de G_k . Lorsque H_k est inclu dans H_{k+1} , le sous-groupe G_k opère transitivement dans (M_{k+1}, ω_{k+1}) , de sorte que $(M_k, \omega_k) = (M_{k+1}, \omega_{k+1})$, (voir [NB 1] Lemme 1.1) On a par conséquent le diagramme commutatif suivant

$$(3) \quad \begin{array}{ccc} H_k & \rightarrow & H_{k+1} \\ \downarrow & & \downarrow \\ G_k & \rightarrow & G_{k+1} \\ \downarrow \pi & & \downarrow \\ M_k & \rightarrow & M_{k+1} \end{array}$$

Dans le diagramme (3) ci-dessus l'application différentiable π est la projection canonique de G_k sur G_k/H_k et la flèche $M_k \rightarrow M_{k+1}$ est un difféomorphisme symplectique. Lorsque le sous-groupe H_{k+1} est inclu dans le sous-groupe H_k , H_{k+1} est distingué dans H_k et sa codimension ibidem vaut 1. La relation entre M_k et M_{k+1} s'exprime en terme de réduction de phase suivant J. MARSDEN et WEINSTEIN, [MW]. Plus précisément on a le résultat suivant

Proposition 1.1.1. *Les notations sont celles du diagramme (2), H_{k+1} est inclu dans H_k . Alors la variété symplectique (M_k, ω_k) est une réduite de la variété symplectique (M_{k+1}, ω_{k+1}) sous une action hamiltonienne de \mathbb{R} dans (M_{k+1}, ω_{k+1})*

On donnera une démonstration complète de cette proposition à la sous-section . En voici cependant une esquisse.

Soit $\zeta \in h_k$ tel que H_k est produit semi-direct du sous-groupe à un paramètre $\{\text{expt}\zeta/t \in \mathbb{R}\}$ par H_{k+1} . Puisque les groupes en jeu sont tous simplement connexes, l'action de $\{\text{expt}\zeta/t \in \mathbb{R}\}$ dans (M_{k+1}, ω_{k+1}) est hamiltonienne sans point fixe. On pose $\tilde{\zeta}(x) = \frac{d}{dt}((\text{expt}\zeta)(x))|_{t=0}$.

Le sous-groupe H_{k+1} étant connexe, on fixe une primitive f_ζ de la 1-forme fermée $i(\tilde{\zeta})\omega_{k+1}$ où $i(\tilde{\zeta})$ est le produit intérieur par le champ des vecteurs $\tilde{\zeta}$. La fonction $f : M_{k+1} \mapsto [h_k/h_{k+1}]^*$ définie par $(x, \zeta) \mapsto f_\zeta(x)$ est une application moment de l'action de $\{\text{expt}\zeta/t \in \mathbb{R}\}$ dans (M_{k+1}, ω_{k+1}) . On verra plus loin que (M_k, ω_k) est une variété réduite de cette action hamiltonienne .

On déduit de la proposition 1.1.1. ci-dessus le diagramme commutatif

$$(4) \quad \begin{array}{ccc} H_k & \leftarrow & H_{k+1} \\ \downarrow & & \downarrow \\ G_k & \rightarrow & G_{k+1} \\ \downarrow & & \downarrow \pi \\ \mathcal{M}_k & \xrightarrow{i} & (M_{k+1}, \omega_{k+1}) \\ \pi \downarrow & & \\ (M_k, \omega_k) & \cdot & \end{array}$$

dans lequel \mathcal{M}_k est l'espace homogène G_k/H_{k+1} .

Les formes symplectiques ω_k et ω_{k+1} sont liées par l'égalité

$$(5) \quad i^* w_{k+1} = \pi^* w_k$$

On voit que dans le cas ci-dessus il n'y a pas de "relation d'incidence" directe entre M_{k+1} et M_k , [NB 5]. On peut ainsi réécrire (4) sous la forme

$$(4') \quad \begin{array}{ccc} H_k & \leftarrow & H_{k+1} \\ \downarrow & & \downarrow \\ G_k & \rightarrow & G_{k+1} \\ \downarrow \pi & & \downarrow \pi \\ & mw & \\ M_k & \leftarrow & M_{k+1} \end{array}$$

où la flèche mw est la réduction symplectique de MARS DEN-WEINSTEIN (voir Proposition 1.1.1).

Définition 1.1.2. *Le graphe associé au couple $(\omega, F) \in \Omega_\ell^2(G) \times \mathcal{F}(G)$ est le graphe dont l'ensemble S des sommets est constitué des H_k, G_k, M_k et dont l'ensemble \mathcal{A} des arrêtes est constitué des relations d'inclusion entre les sommets, [suivant (1), (2)] et des projections π [suivant (3) et (4')].*

Compte tenu des conventions adoptées ci-dessus, la portion du graphe associé à $(\omega, F) \in \Omega_\ell^2(G) \times \mathcal{F}(G)$ qui porte les sommets H_{k-1}, H_k et H_{k+1} est une des quatre configurations suivantes

$$(I) \quad \begin{array}{ccccc} H_{k-1} & \leftarrow & H_k & \leftarrow & H_{k+1} \\ \downarrow & & \downarrow & & \downarrow \\ G_{k-1} & \rightarrow & G_k & \rightarrow & G_{k+1} \\ \downarrow & & \downarrow & & \downarrow \\ & mw & & mw & \\ M_{k-1} & \leftarrow & M_k & \leftarrow & M_{k+1} \end{array} ; \quad (II) \quad \begin{array}{ccccc} H_{k-1} & \rightarrow & H_k & \rightarrow & H_{k+1} \\ \downarrow & & \downarrow & & \downarrow \\ G_{k-1} & \rightarrow & G_k & \rightarrow & G_{k+1} \\ \downarrow & & \downarrow & & \downarrow \\ M_{k-1} & \rightarrow & M_k & \rightarrow & M_{k+1} \end{array} ;$$

(6)

$$(III) \quad \begin{array}{ccccc} H_{k-1} & \rightarrow & H_k & \leftarrow & H_{k+1} \\ \downarrow & & \downarrow & & \downarrow \\ G_{k-1} & \rightarrow & G_k & \rightarrow & G_{k+1} \\ \downarrow & & \downarrow & & \downarrow \\ & & & mw & \\ M_{k+1} & \rightarrow & M_k & \leftarrow & M_k \end{array} ; \quad (IV) \quad \begin{array}{ccccc} H_{k-1} & \leftarrow & H_k & \rightarrow & H_{k+1} \\ \downarrow & & \downarrow & & \downarrow \\ G_{k-1} & \rightarrow & G_k & \rightarrow & G_{k+1} \\ \downarrow & & \downarrow & & \downarrow \\ & & & mw & \\ M_{k-1} & \leftarrow & M_k & \rightarrow & M_{k+1} . \end{array}$$

On va introduire des notions dont la signification géométrique est donnée dans les sous-sections suivantes.

Définitions 1.1.3. (a) Dans les configurations (I) et (II) ci-dessus le sommet H_k est dit respectivement régulier non réductible et régulier réductible. (b) Dans les configurations (III) et (IV) le sommet H_k est dit respectivement singulier attractif et singulier répulsif .

Exemple 1. Soit \mathcal{G} l'espace vectoriel de base c, b, a, v, u . On munit \mathcal{G} du crochet suivant: $[a, b] = [u, c] = [v, c] = c, [u, a] = a; [v, b] = b$; les crochets non explicités étant nuls. On désigne par c^*, b^*, a^*, v^*, u^* la base duale de c, b, a, v, u et par $F(\mathcal{G})$ le drapeau défini par c, b, a, v, u et par G le groupe de Lie connexe et simplement connexe dont l'algèbre de Lie est \mathcal{G} .

Considérons la 2-forme différentielle invariante à gauche $\omega = a^* \wedge v^* + b^* \wedge u^* + v^* \wedge u^*$; cette forme est fermée et son noyau est engendré par c . Le sous-espace $\text{vect}(a, b, c, v)$ est en fait une sous-algèbre de Lie de \mathcal{G} ; on désigne par G_4 le sous-groupe de Lie connexe du groupe G associé à $\text{vect}(a, b, c, v)$. La restriction à G_4 de ω est la 2-forme $\omega_4 = a^* \wedge v^*$. Le noyau de ω_4 est la sous-algèbre de Lie $\text{vect}(c, b)$. On note G_3 le sous-groupe de Lie connexe associé à la sous-algèbre de Lie $\text{vect}(c, b, a)$, la restriction à G_3 de ω est nulle. On indexe comme il suit les sous-algèbres de Lie décrites ci-dessus :

$\mathcal{H}_5 = \text{vect}(c), \quad \mathcal{H}_4 = \text{vect}(c, b), \quad \mathcal{H}_3 = \text{vect}(c, b, a) = \mathcal{G}_3$

Le couple $(\omega, F(\mathcal{G}))$ donne lieu au diagramme suivant:

$$\begin{array}{ccccc} H_3 & \leftarrow & H_4 & \leftarrow & H_5 \\ \downarrow & & \downarrow & & \downarrow \\ G_3 & \rightarrow & G_4 & \rightarrow & G_5 \\ & & \downarrow & & \downarrow \\ & & & mw & \\ & & M_4 & \leftarrow & M_5 \end{array}$$

Exemple 2. On considère l'espace vectoriel $\text{vect}(a, b, c, u)$ muni du crochet suivant: $[u, c] = -c, [u, b] = b; [u, a] = a$; les autres crochets sont nuls; c^*, b^*, a^*, u^* est la base duale de c, b, a, u . Soit $\omega = c^* \wedge b^*$ et soit G le groupe de Lie connexe et simplement connexe d'algèbre de Lie $\mathcal{G} = \text{vect}(c, b, a, u)$; ω définit dans G un drapeau qui donne lieu au diagramme

$$\begin{array}{ccccc} H_2 & \rightarrow & H_3 & \rightarrow & H_4 \\ \downarrow & & \downarrow & & \downarrow \\ G_2 & \rightarrow & G_3 & \rightarrow & G_4 \end{array}$$

1.2. DIAGRAMMES PONDÉRÉS DES 2-FORMES.

Avant de continuer on va fixer quelques conventions. Il est facile de voir que si deux sommets consécutifs H_k et H_{k+1} sont réguliers alors ils sont réguliers de même type (viz *non réductible* ou *réductible*). Cette remarque conduit à contracter les diagrammes en munissant l'arrête joignant deux sommets réguliers

consécutifs d'un indice, e.g. $\frac{S}{(m)}S$, pour signifier qu'il y a $m + 1$ sommets réguliers consécutifs de type (S) . Cela est commode quand on a l'intention, comme nous nous proposons de faire, d'associer à chaque graphe orienté l'analogue de diagramme de Dynkin pour les systèmes des racines, [B].

Soit $(\omega, F) \in \Omega_{\ell}^2(G) \times \mathcal{F}(G)$. Notons $\text{gr}(\omega, F)$ le graphe orienté associé au couple (ω, F) . On considère maintenant le diagramme $d(\omega, F)$ dont les sommets S_k ont pour coordonnées les couples (G_k, H_k) . On convient de relier les deux sommets consécutifs S_k et S_{k+1} par deux arrêtes orientées exprimant les relations d'inclusion ad hoc; on notera que dans les diagrammes commutatifs (5) et (6) la flèche joignant H_k à H_{k-1} (respectivement à H_{k+1}) et celle joignant M_k à M_{k-1} (respectivement M_{k+1}) ont la même orientation. Ainsi compte tenu de notre convention de contraction des diagrammes les configurations (I), (II), (III) et (IV) donnent lieu aux quatre diagrammes suivants

$$\begin{aligned} \text{(I)} \quad & \begin{array}{c} S_{k-1} \quad S_k \quad S_{k+1} \\ \text{O} \xleftarrow{\quad} \text{O} \xleftarrow{\quad} \text{O} \end{array} \quad ; \quad \text{(II)} \quad \begin{array}{c} S_k \\ \text{O} \rightarrow \text{O} \rightarrow \text{O} \end{array} \quad ; \\ \text{(III)} \quad & \begin{array}{c} S_k \\ \text{O} \rightarrow \text{O} \xleftarrow{\quad} \text{O} \end{array} \quad ; \quad \text{(IV)} \quad \begin{array}{c} S_k \\ \text{O} \xleftarrow{\quad} \text{O} \rightarrow \text{O} \end{array} \quad . \end{aligned}$$

On peut convenir de joindre S_{k-1} à S_k par une ou deux arrêtes suivant que l'on a $H_{k-1} \subset H_k$ ou $H_k \subset H_{k-1}$, de sorte que les diagrammes ci-dessus deviennent les suivantes

$$\begin{aligned} \text{(I)} \quad & \begin{array}{c} S_k \\ \text{O} \xleftarrow{\quad} \text{O} \xleftarrow{\quad} \text{O} \end{array} \quad ; \quad \text{(II)} \quad \begin{array}{c} S_k \\ \text{O} \rightarrow \text{O} \rightarrow \text{O} \end{array} \quad ; \\ \text{(III)} \quad & \begin{array}{c} S_k \\ \text{O} \rightarrow \text{O} \xleftarrow{\quad} \text{O} \end{array} \quad ; \quad \text{(IV)} \quad \begin{array}{c} S_k \\ \text{O} \xleftarrow{\quad} \text{O} \rightarrow \text{O} \end{array} \quad . \end{aligned}$$

On voit que les sommets S_k des configurations (I) et (II) sont réguliers dans le sens évident qu'il y a autant d'arrêtes d'origine S_k que celles d'extrémités S_k . En contraste il y a plus d'arrêtes d'origine S_k (resp. d'extrémité S_k) que celles d'extrémité S_k (resp. d'origine S_k) dans le cas (III) (resp. (IV)).

Poids des sommets. On va attacher au sommet $S_k = (H_k, G_k)$ le poids $p_k = p(S_k) = \frac{\dim H_k}{\text{codim } H_{k+1}} = \frac{\dim H_k}{\dim M_{k+1}}$. La notion de poids est liée à des propriétés géométriques de (ω, F) ; on y reviendra dans les numéros suivants.

1.3. Connexité et simplicité des diagrammes pondérés.

Soit $\omega \in \Omega_{\ell}^2(G)$. Soit g l'algèbre de Lie du groupe de Lie G et soit h la sous-algèbre de Lie de g qui engendre le noyau de la 2-forme différentielle ω . Si le groupe de Lie G est nilpotent, alors il existe dans G un sous-groupe de Lie \mathcal{G} de dimension $= \dim H + \frac{1}{2} \text{codim } H$ jouissant des deux propriétés suivantes

$$\text{(a)} \quad H \subset \mathcal{G}; \text{(b)} \quad i^* \omega = 0$$

où i est l'homomorphisme inclusion de \mathcal{G} dans G ; le théorème 1.4.1 donnera entre autres un analogue résoluble de cette propriété. Naturellement par passage à

la variété quotient $M = G/H$ on obtient la variété symplectique notée (M, ω) et la sous-variété $L = \mathcal{G}/H$ coïncide avec la feuille passant par $x_o = \pi(H)$ d'un feuilletage lagrangien \mathcal{F} invariant par l'action de G dans G/H . Il existe une suite de composition $F \in \mathcal{F}(G)$ contenant H et \mathcal{G} , de sorte que le diagramme pondéré $d(\omega, F)$ associé à $gr(\omega, F)$ a une des formes suivantes

$$(i) \quad \begin{array}{ccccccc} & & S & & S' & & \\ & & \downarrow & & \downarrow & & \\ O & \rightarrow & O & \xleftrightarrow{\quad} & O & \rightarrow & O \\ & & (m) & & (n) & & \end{array}$$

$$(ii) \quad \begin{array}{ccccccc} & & S & & & & \\ & & \downarrow & & \downarrow & & \\ O & \rightarrow & O & \xleftrightarrow{\quad} & O & & \\ & & (m) & & (n) & & \end{array}$$

Les présentations (i) et (ii) ci-dessus ayant les signification convenues au numéro 1.2 en d'autres termes l'indice (m) (respectivement (n)) signifie qu'on a m+1 sommets consécutifs liés comme indiqué ci-dessus. On peut résumer (i) et (ii) sous la forme de

Proposition 1.3.1. *Soit G un groupe de Lie nilpotent connexe, pour toute 2-forme fermée $\omega \in \Omega_{\ell}^2(G)$, il existe $F \in \mathcal{F}(G)$ tel que $d(\omega, F)$ possède au plus deux sommets singuliers. Lorsque $d(\omega, F)$ possède un seul sommet singulier, celui-ci est attractif.*

Cette proposition 1.3.1 permet une bonne compréhension des graphes des 2-formes fermées $\omega \in \Omega_{\ell}^2(G)$ quand G est complètement résoluble.

Il faut pour cela reformuler le lemme 1.1.1 de [NB 1] de la façon qui suit.

Proposition 1.3.2. *Soit G un groupe de Lie complètement résoluble non nilpotent. Soit $\omega \in \Omega_{\ell}^2(G)$ une 2-forme non nulle. On note H le sous-groupe de Lie connexe dont l'algèbre de Lie h engendre le noyau de ω . Si h est non nulle, alors les affirmations suivantes sont équivalentes.*

- (a₁) *Le seul sous-groupe distingué de G qui contient H est G lui-même.*
- (a₂) *Le sous-groupe des commutations $\mathcal{D}G$ opère transitivement dans G/H*

Esquisse de démonstration. L'équivalence de (a₁) et (a₂) se déduit aisément de la commutativité du diagramme suivant

$$\begin{array}{ccccc} H \cap \mathcal{D}G & \hookrightarrow & \mathcal{D}F & \rightarrow & \mathcal{D}G/H \cap \mathcal{D}G \\ \downarrow & & \downarrow & & \downarrow \\ H & \hookrightarrow & G & \rightarrow & G/H \\ \downarrow & & \downarrow & & \downarrow \\ H/H \cap \mathcal{D}G & \hookrightarrow & G/\mathcal{D}G & \rightarrow & \mathcal{A} \end{array}$$

dont les trois colonnes ainsi que les trois lignes sont les fibrations différentiables

On se propose avant d'avancer de tirer des propositions 1.3.1 et 1.3.2 des informations concernant le nombre et les natures des sommets singuliers des diagrammes pondérés $d(\omega, F)$ quand G est complètement résoluble non nilpotent. En effet, il résulte de la proposition 1.3.2. que pour toute 2-forme $\omega \in \Omega_\ell^2(G)$ il existe une filtration F de G par des sous-groupes G_k telle que le diagramme pondéré $d(\omega, F)$ a une des deux formes qui suivent

$$O \rightarrow O \xleftarrow{\rightarrow} O \rightarrow O \xleftarrow{\rightarrow} O \rightarrow O ,$$

$$O \rightarrow O \xleftarrow{\rightarrow} O \rightarrow O \xleftarrow{\rightarrow} O .$$

On verra que des difficultés de compréhension des dynamiques symplectiques de la variété symplectique (M, ω) déduite de $\omega \in \Omega_\ell^2(G)$, certaines sont liées à la nature et au nombre des sommets singuliers des diagrammes pondérés $d(\omega, F)$. Il en est ainsi par exemple quand on est intéressé par l'existence des feuilletages lagrangiens invariants par un groupe des difféomorphismes symplectiques de (M, ω) .

On observe enfin qu'un sommet singulier de poids nul est nécessairement répulsif . Il va de soit qu'un sommet de poids nul est singulier répulsif .

Les considérations et observations ci-dessus motivent les définitions qui suivent.

Définitions 1.3.3. (a) Un diagramme pondéré $d(\omega, F)$ est dit connexe s'il ne possède pas de sommet singulier de poids nul .

(b) Un diagramme pondéré $d(\omega, F)$ est semi-nilpotent si ses sommets singuliers de poids nul sont nilpotents .

De la définition 1.3.3. résulte que tout diagramme pondéré $d(\omega, F)$ est réunion de ses composantes connexes. Naturellement deux composantes connexes distinctes ont au plus un sommet commun qui est de poids nul . Par analogie à la théorie des racines des groupes de Lie semi-simples complexes on va poser.

Définition 1.3.4. Un diagramme pondéré $d(\omega, F)$ est dit simple s'il est connexe et ne possède pas de sommet répulsif .

Il revient au même de dire que $d(\omega, F)$ est simple s'il possède un seul sommet singulier. Ce dernier est alors nécessairement attractif. Un tel diagramme simple a donc la forme suivante .

$$O \rightarrow O \xleftarrow{\rightarrow} O .$$

Pour illustrer les notions qui viennent d'être introduites à l'aide de quelques exemples, la définition qui suit sera utile

Définitions 1.3.5. (a) Un diagramme pondéré $d(\omega, F)$ dont les sommets singuliers de poids nul sont distingués dans G est dit semi-normal.

(b) Un diagramme pondéré semi-normal dont les composantes connexes sont simples est dit semi-simple .

Un diagramme pondéré semi-simple a la forme suivante

$$O \rightarrow O \xleftarrow{(n_1)} O \cdots O \rightarrow O \xleftarrow{(n_\ell)} O$$

(m₁) (m_ℓ) (n_ℓ)

où les pointillés représentent les diagrammes simples pondérés

$$O \rightarrow O \xleftarrow{(n)} O.$$

Bien entendu les sommets singuliers répulsifs sont de poids nul .

1.4. Des exemples.

Exemple 1. On note $G = \left\{ A = \begin{bmatrix} \alpha & u & v \\ 0 & \alpha^2 & w \\ 0 & 0 & \alpha^3 \end{bmatrix}, (\alpha, u, v, w) \in \mathbb{R}^{>0} \times \mathbb{R}^3 \right\}$.

On note $A(\alpha, u, v, w)$ les éléments de G .

Soit $\omega = 2d\alpha \wedge dv - du \wedge dw$. On va filtrer G par les sous-groupes

$$G_1 = \{A(\alpha, u, v, w)/\alpha = 1, u = w = 0\}; G_2 = \{A(\alpha, u, v, w)/\alpha = 1, u = 0\}; G_3 = \{A(\alpha, u, v, w)/\alpha = 1\}.$$

On voit aisément que

$$H_1 = G_1, H_2 = G_2 \text{ et } H_3 = \{A(1, u, 0, 0)\}.$$

Le diagramme associé à la filtration ci-dessus est

$$O \rightarrow O \xleftarrow{(2)} O \xleftarrow{(1)} O.$$

C'est un diagramme simple.

Exemple 2. On conserve G et ω de l'exemple 1. On filtre G par les sous-groupes suivants

$$G_1 = \{A(\alpha, u, v, w)/u = v = w = 0\}; G_2 = \{A(\alpha, u, v, w)/u = v = 0\}; G_3 = \{A(\alpha, u, v, w)/u = 0\}.$$

On a alors $H_1 = G_1; H_2 = \{A(1, 0, 0, 0)\}; H_3 = \{A(1, 0, v, 0)\}$.

Le diagramme correspondant à cette filtration est

$$O \rightarrow O \xleftarrow{S_2} O \rightarrow O \xleftarrow{(1)} O.$$

Le sommet $S_2 = (H_2, G_2)$ est de poids nul ; $d(\omega, F)$ n'est donc pas connexe. Il a deux composantes simples et le sommet singulier S_2 est distingué ; $d(\omega, F)$ est semi-simple.

Exemple 3. Soit G le groupe de Lie connexe des matrices réelles 5×5 dont l'algèbre de Lie g est l'espace des matrices

$$X(z, y, x, u, v) = \begin{bmatrix} 2u & x+v & -y & -2z & -y \\ 0 & u & v & -y & -x \\ 0 & 0 & u & -x-v & u \\ 0 & 0 & 0 & 0 & 0 \\ 0 & 0 & 0 & 0 & 0 \end{bmatrix}.$$

Notons $(e_5, e_4, e_3, e_2, e_1)$ la base canoniquement associée aux coordonnées (z, y, x, u, v) et $(\theta_5, \theta_4, \theta_3, \theta_2, \theta_1)$ la base duale. On considère la 2-forme $\omega = d\theta_5$. On pose $X(z, y, x, u, v) = ze_5 + ye_4 + xe_3 + ue_2 + ve_1$. On a alors

$$\omega(X(z, y, x, u, v), X(z', y', x', u', v')) = xy' - x'y + 2(uz' - u'z) + vy' - v'y.$$

Le noyau de ω est engendré par la sous-algèbre de g définie par

$$z = y = u = 0, x + v = 0.$$

On va filtrer l'algèbre de Lie g du groupe G par les sous-algèbres suivantes

$$F := g(0, 0, x, 0, -x) \subset g(z, 0, x, 0, -x) \subset g(z, 0, x, 0, v) \subset g(z, y, x, 0, v) \subset g.$$

Les notations ci-dessus ne prêtant pas à ambiguïté, puisque

$$g(0, 0, x, 0, -x) = \{X(0, 0, x, 0, -x)/x \in \mathbb{R}\}.$$

Le noyau de ω est engendré par $g(0, 0, x, 0, -x)$. On voit que le noyau de la restriction $\omega(z, y, x, 0, v) = \omega|_{g(z, y, x, 0, v)}$ est $g(z, 0, x, 0, -x)$.

Le diagramme $d(\omega, F)$ est simple et a la forme suivante

$$\begin{array}{c} S_5 \\ \mathbb{O} \rightarrow \mathbb{O} \xrightarrow{\leftarrow} \mathbb{O} \\ (2) \end{array}$$

On conserve G et ω comme ci-dessus, puis on filtre g par les sous-algèbres comme ci-dessous

$$F := g(z, 0, 0, 0, 0) \subset g(z, y, 0, 0, 0) \subset g(z, y, x, 0, 0) \subset g(z, y, x, u, 0) \subset g.$$

La restriction à $g(z, y, x, u, 0)$ de ω est alors régulière et le noyau de $\omega(z, y, x, 0, 0)$ est $g(z, 0, 0, 0, 0)$. Le diagramme $d(\omega, F)$ est

$$\begin{array}{c} S_4 \\ \mathbb{O} \rightarrow \mathbb{O} \xrightarrow{\leftarrow} \mathbb{O} \rightarrow \mathbb{O} \end{array}$$

On peut avoir un diagramme connexe non semi-simple en filtrant g comme ci-dessous

$$F := g(0, y, 0, u, 0) \subset g(z, y, 0, 0, 0) \subset g(z, y, 0, u, 0) \subset g(z, y, x, u, -x) \subset g.$$

Le noyau de $\omega(z, u, x, u, -x)$ est $g(0, y, x, 0, -x)$; le noyau de $\omega(z, y, 0, u, 0)$ est $g(0, y, 0, 0, 0)$. On a visiblement $\omega(z, y, 0, 0, 0) = 0$. Le diagramme $d(\omega, F)$ est le suivant

$$\mathbb{O} \rightarrow \mathbb{O} \xrightarrow{\leftarrow} \mathbb{O} \rightarrow \mathbb{O} \xrightarrow{\leftarrow} \mathbb{O},$$

Ce diagramme est connexe mais non semi-simple.

On voit qu'à divers choix de $F \in \mathcal{F}(G)$ correspondent des diagrammes de types différents. On donnera des significations géométriques aux configurations intéressantes.

Nous allons établir un résultat qui joue un rôle utile dans la dynamique des variétés Kählériennes compactes.

1.4. Réduction des diagrammes semi-nilpotents.

Soit G un groupe de Lie complètement résoluble. Notre objectif est la recherche des possibilités d'avoir pour une forme fermée $\omega \in \Omega_\ell^2(G)$ un diagramme simple.

Théorème 1.4.1. *Soit G un groupe de Lie complètement résoluble. Soit $\omega \in \Omega_\ell^2(G)$. Si ω possède un diagramme pondéré semi-simple et semi-nilpotent $d(\omega, F)$, alors on peut "déformer" F en une filtration F_0 tel que $d(\omega, F_0)$ est un diagramme simple*

$$O \rightarrow O \xleftarrow{\quad} O \quad .$$

Démonstration. D'après l'hypothèse ω possède un diagramme semi-simple $d(\omega, F)$ de la forme

$$O \rightarrow O \xleftarrow{\quad} O \rightarrow O \xleftarrow{\quad} O \cdots O \rightarrow O \xleftarrow{\quad} O$$

$$(m_1) \quad (n_1) \quad (m_2) \quad (n_2) \quad (m_\ell) \quad (n_\ell)$$

Les sommets singuliers répulsifs étant distingués et nilpotents. Soit $2n$ le rang de ω et soit $2n + \ell$ la dimension de G . Soit g l'algèbre de Lie du groupe de Lie G . Notons comme auparavant h la sous-algèbre de Lie de g qui engendre le noyau de ω , la dimension de h est égale à ℓ . Soit H le sous-groupe de Lie connexe associé à h .

Il s'agit de montrer qu'il existe une filtration de G par les sous-groupes G_k dont celui de dimension $n + \ell$, viz $G_{n+\ell}$, jouit des deux propriétés suivantes

$$(p1) \quad H \subset G_{n+\ell};$$

$$(p2) \quad i_{n+\ell}^* \omega = 0.$$

On part du diagramme semi-simple semi-nilpotent ci-dessus, soit

$$O \rightarrow O \xleftarrow{\quad} O \cdots O \rightarrow O \xleftarrow{\quad} O$$

$$(m_1) \quad (n_1) \quad (m_\ell) \quad (n_\ell)$$

On peut supposer sans perte de généralité que $d(\omega, F)$ a seulement deux composantes connexes simples. Cette restriction est légitime en vertu des propositions 1.3.1 et 1.3.2. Le diagramme pondéré $d(\omega, F)$ est désormais supposé être le suivant

$$O \rightarrow O \xleftarrow{\quad} O \rightarrow O \xleftarrow{\quad} O$$

$$(m_1) \quad (n_1) \quad (m_2) \quad (n_2)$$

dans lequel l'unique sommet singulier répulsif S est de poids nul ; il a pour coordonnées le couple $(G_{2m}, \{e\})$ où G_{2m} est un sous-groupe distingué nilpotent du groupe G , e étant l'élément neutre de G .

Naturellement la 2-forme $\omega_{2m} = i_{2m}^* \omega$ est symplectique dans G_{2m} . Il en résulte que G est produit semi-direct $G = G_{2m} \rtimes G^o$ où G^o est un sous-groupe de G de dimension $2(n - m) + \ell$; G^o est l'“orthogonal” de G_{2m} relativement à ω . Il résulte de la décomposition en produit semi-direct

$$G = G_{2m} \rtimes G^o$$

que la forme ω se décompose en deux termes

$$\omega = \omega_{2m} + \omega^o$$

où ω^o est la restriction à G^o de ω et ω_{2m} est la restriction à G_{2m} de ω . Le sommet singulier S'' correspond (pour la filtration F en jeu) à un sous-groupe $G_{n+2m+\ell}$ dans G . Du point de vue du produit semi-direct $G = G_{2m} \rtimes G^o$, le sous-groupe $G_{n+2m+\ell}$ a la forme

$$G_{n+2m+\ell} = G_{2m} \rtimes G_{n-m+\ell}^o$$

où le sous-groupe $G_{n-m+\ell}^o$ de G^o satisfait les deux conditions suivantes

$$(c1) \quad H \subset G_{n-m+\ell}^o;$$

$$(c2) \quad i_{n-m+\ell}^* \omega^o = 0.$$

Nous sommes maintenant en mesure de construire une filtration F_o telle que $d(\omega, F_o)$ soit simple. Il suffit pour cela de démontrer le Lemme qui suit.

Lemme 1.4.2. *Le sous-groupe G_{2m} possède une filtration $\tilde{F}(G_{2m}) = G_1 \subset G_k \cdots$ jouissant des propriétés suivantes*

(i) *chaque G_k est stable par les automorphismes intérieurs de G déterminés par les éléments de G^o .*

(ii) *$i_m^* \omega_{2m} = 0$, où i_m est l'homomorphisme inclusion de G_m dans G_{2m} .*

Démonstration du Lemme 1.4.2. Soit g_m l'algèbre de Lie du sous-groupe G_{2m} et soit g^o celle du sous-groupe de Lie G^o . L'algèbre de Lie g de G est produit semi-direct de g^o par g_{2m} . Notons a la sous-algèbre de Lie de g^o qui correspond au sous-groupe de Lie $G_{n-m+\ell}^o$.

1ère Etape. On observe que le noyau de la restriction de ω à $g_{2m} \times a$ est a . On fixe un idéal de codimension 1, g_{2m-1} , dans g_{2m} astreint à vérifier la condition $[g^o, g_{2m-1}] \subset g_{2m-1}$. Un tel idéal existe parce que G est complètement résoluble d'une part, et d'autre part toute sous-algèbre de codimension 1 dans g_{2m} est un idéal de g_{2m} .

Notons ω_{2m-1} la restriction à g_{2m-1} de ω_{2m} , le noyau de ω_{2m-1} est de dimension 1, notons h_1 ce noyau. Puisque g^o agit dans (g_{2m}, ω_{2m}) comme sous-algèbre de $sp(\omega_{2m})$ on a nécessairement

$$[g^o, h_1] \subset h_1.$$

Naturellement le noyau de la restriction à $g_{2m-1} \times a$ de ω est la sous-algèbre $h_1 \times a$. Il découle de l'inclusion

$$[g^o, h_1] \subset h_1$$

que l'on a aussi

$$(8) \quad [g^o, \text{nor}(h_1)] \subset \text{nor}(h_1)$$

où $\text{nor}(h_1)$ est le normalisateur de h_1 dans g_{2m-1} .

On déduit de (8) l'existence d'une sous-algèbre de codimension 1 dans g_{2m-1} , soit g_{2m-2} , qui vérifie les conditions

$$h_1 \subset g_{2m-2} \text{ et } [g^o, g_{2m-2}] \subset g_{2m-2}.$$

L'existence de g_{2m-2} résulte entre autres de la nilpotence de g_{2m-1} .

Le noyau de la restriction à g_{2m-2} de ω_{2m-1} est de dimension 2 ; notons ce noyau h_2 . On a comme ci-dessus les inclusions

$$\begin{aligned} [g^o, h_2] &\subset h_2, \\ [g^o, \text{nor}(h_2)] &\subset \text{nor}(h_2) \end{aligned}$$

où $\text{nor}(h_2)$ est le normalisateur de h_2 dans g_{2m-2} .

Le noyau de la restriction à $g_{2m-2} \times a$ de ω est la sous-algèbre $h_2 \times a$. Bien évidemment on a de nouveau l'existence d'une sous-algèbre de Lie de codimension 1 dans g_{2m-2} , soit g_{2m-3} qui contient h_2 et vérifie

$$[g^o, g_{2m-3}] \subset g_{2m-3}$$

On itère mutatis mutandis la procédure ainsi mise au point pour obtenir les deux suites croissantes

$$\begin{aligned} g_m &\subset g_{m+1} \subset \cdots \subset g_{2m-j} \subset \cdots \subset g_{2m}, 1 \leq j \leq m; \\ h_1 &\subset h_2 \subset \cdots \subset h_j \subset \cdots \subset h_m. \end{aligned}$$

Les termes de ces suites sont liés par les relations ci-dessous

$$\begin{aligned} (i) \quad & h_j \subset g_{2m-j} \quad \text{pour } 1 \leq j \leq m \\ (ii) \quad & [g^o, h_j] \subset h_j. \\ (9) \quad (iii) \quad & \ker \omega_{2m-j} = h_j. \\ (iv) \quad & [g^o, g_{m-j}] \subset g_{2m-j}. \end{aligned}$$

$$(v) \quad \omega(h_j \times a, h_j \times a) = 0.$$

On observe en particulier que pour $j = m$ on a

$$\omega(g_m \times a, g_m \times a) = 0.$$

2ème Etape. Notons G_{2m-j} et H_j les sous-groupes de Lie connexes déterminés par les sous-algèbres de Lie g_{2m-j} et h_j respectivement. Ces sous-groupes contenus dans G_{2m} sont stables par les automorphismes intérieurs de G définis par les éléments de G^o .

Cela résulte des relations (8). Cela achève la preuve du Lemme 1.4.2 .

Fin de la démonstration du théorème 1.4.1.

A partir des relations (8) on déduit les relations d'inclusions évidentes suivantes

$$(10) \quad G_{n-m+\ell}^o \subset H_j \times G_{n-m+\ell}^o \subset G_{2m-j} \times G_{n-m+\ell}^o \subset G_{2m} \times G_{n-m+\ell}^o.$$

D'un autre côté la filtration originelle F vue sous la forme des produits semi-directs hérités de $G = G_{2m} \times G^o$ prend la forme qui suit

$$(11) \quad G_{2m} \subset G_{2m} \times G_1^o \subset \cdots G_{2m} \times G_{n-m+\ell}^o \subset \cdots G_{2m} \times G^o.$$

Dans (10) G_ℓ^o n'est pas autre chose que le sous-groupe H dont l'algèbre de Lie engendre le noyau de ω .

On déduit des relations (10) et (11) la filtration $F_o(G)$ suivante

$$(12) \quad \begin{aligned} & G_1^o \subset \cdots G_{n-m+\ell}^o \subset H_1 \times G_{n-m+\ell}^o \subset \cdots H_m \times G_{n-m+\ell}^o \cdots \subset \\ & G_{2m} \times G_{n-m+\ell}^o \subset G_{2m} \times G_{n-m+\ell+1}^o \cdots \subset G_{2m} \times G_{n-m+\ell+k}^o \subset \cdots G_{2m} \times G^o. \end{aligned}$$

Pour voir que le diagramme pondéré associé à (11) est simple, il faut s'assurer que le graphe orienté qui lui est associé ne possède qu'un seul sommet singulier, qui est nécessairement attractif.

En fait on a les diagrammes commutatifs suivants

$$(13) \quad \begin{array}{ccc} H_{j+1} \times G_{n-m+\ell}^o & \leftarrow & H_j \times G_{n-m+\ell}^o \\ \downarrow & & \downarrow \\ G_{2m-j-1} \times G_{n-m+\ell}^o & \hookrightarrow & G_{2m-j} \times G_{n-m+\ell}^o \end{array}$$

pour $0 \leq j \leq m$ avec $H_m = G_m$; et

$$(14) \quad \begin{array}{ccc} G_{n-m+\ell-k+1}^o & \leftarrow & G_{n-m+\ell-k}^o \\ \downarrow & & \downarrow \\ G_{2m} \times G_{n-m+\ell+k-1}^o & \hookrightarrow & G_{2m} \times G_{n-m+\ell+k}^o \end{array}$$

pour $1 \leq k \leq n - m$. Dans les diagrammes (13) et (14) les flèches sont des homomorphismes inclusions. Le graphe orienté associé à (12) a donc un seul

sommet singulier qui est $H_m \times G_{n-m+l}$; voici la portion du graphe $d(\omega, F_0)$ qui porte ce sommet singulier

$$\begin{array}{ccccccc} \rightarrow & H_{m-1} \times G_{n-m+l}^o & \rightarrow & H_m \times G_{n-m+l}^o & \leftarrow & H_{m-1} \times G_{n-m+l}^o & \leftarrow \\ & \downarrow & & \downarrow & & \downarrow & \\ \rightarrow & H_{m-1} \times G_{n-m+l}^o & \rightarrow & G_m \times G_{n-m+l}^o & \rightarrow & G_{m+1} \times G_{n-m+l}^o & \rightarrow \end{array} .$$

Le diagramme (14) montre que $d(\omega, F_0)$ à la forme contracté suivante

$$\begin{array}{ccccc} O & \rightarrow & O & \xleftarrow{\quad} & O \\ & & (n) & & (m) \end{array} ;$$

ainsi le théorème 1.4.1 est démontré .

Avant d'entreprendre l'examen des significations géométriques des propriétés combinatoires associées aux graphes $gr(\omega, F)$, on va rappeler un théorème de [BG 2] qui donnera au théorème 1.4.1 son intérêt géométrique.

Théorème [BG 2] *Soit G un groupe de Lie complètement résoluble. Soit Γ un réseau cocompact dans G . On suppose que $\Gamma \backslash G$ possède une structure kahlerienne $(\Gamma \backslash G, \omega, J)$, alors la classe de Kahler $[\omega] \in H_{Dk}^2(\Gamma \backslash G)$ contient une forme symplectique G -homogène ω_o avec les propriétés suivantes*

(i) ω_o est la projection d'une forme invariante à gauche notée encore $\omega_o \in \Omega_{\mathbb{R}}^2(G)$, [c'est la G -homogénéité].

(ii) La restriction à l'idéal dérivé $[g, g]$ de ω_o est une 2-forme symplectique .

Le théorème 2 de [BG 2] est plus complet que celui ci-dessus. On déduit en fait de (ii) que l'orthogonal symplectique de $[g, g]$ est une sous algèbre de Lie abélienne a de g . Il résulte des propositions 1.3.1 et 1.3.2 que g possède une filtration dont le diagramme associé est semi-simple et semi-nilpotent.

Le théorème 1.4.1 assure que ω_o possède un diagramme pondéré simple

$$O \rightarrow O \xrightarrow{\quad} O .$$

Soit G un groupe de Lie complètement résoluble contenant un réseau cocompact Γ . Soit $\omega \in \Omega_{\mathbb{R}}^2(G)$ une forme symplectique. On note $(\Gamma \backslash G, \omega)$ la variété symplectique obtenue par la projection canonique de G sur $\Gamma \backslash G$. Grâce au théorème [BG 2] ci-dessus on déduit du théorème 1.4.1 le

Corollaire 1.4.2. *Si la variété $\Gamma \backslash G$ possède une structure kahlerienne dont la forme de Kahler ω est G -homogène, alors cette dernière possède un diagramme pondéré simple $O \rightarrow O \xrightarrow{\quad} O$.*

Naturellement il revient au même de dire que ω possède un graphe orienté $gr(\omega, F)$ ayant un seul sommet singulier .

2. DYNAMIQUES DIFFÉRENTIABLES ET DIAGRAMMES PONDÉRÉS.

Ce §2 est consacré à deux questions. L'une est de nature topologique ; l'autre question concerne la réductibilité des "paires transitives" au sens de

A.L. ONISHCHIK, [ON]. Dans la suite on entend par systèmes dynamiques différentiables les actions différentiables des groupes de Lie. Le problème topologique qui nous intéresse est celui de l'existence de feuilletages lagrangiens invariants par des systèmes dynamiques symplectiques. En situation complètement résoluble ce problème est en rapport avec la nature des diagrammes pondérés $d(\omega, F)$ ou si l'on veut des graphes orientés associés, [au sens des définitions 1.3.3 et 1.3.4]. Le problème de "réductibilité" des paires transitives est quant à lui lié à la nature des sommets singuliers des diagrammes pondérés. Nous allons préciser ces liaisons une fois rappelées les notions de degré primitif et de symétrie des variétés homogènes, voir [HW] pour le cas des groupes compacts, notions par ailleurs étroitement liées aux poids des sommets singuliers des diagrammes pondérés.

2.1. Degrés primitifs des variétés homogènes.

Les variétés considérées sont différentiables de classe C^∞ , connexes et dénombrables à l'infini. Une variété M est dite homogène quand elle possède un *groupe de Lie des transformations transitif*. La collection constituée des groupes de Lie des transformations transitifs de M sera désignée par $\mathcal{L}(M)$. Tout $G \in \mathcal{L}(M)$ permet l'identification de M avec une paire (H, G) où H est le sous-groupe de G stabilisateur d'un point dans M . Posons

$$d^G(M) = \frac{\dim H}{\operatorname{codim} H + 1}$$

$$d(M) = \min\{d^G(M)\},$$

$$G \in \mathcal{L}(M)$$

Définition 2.1.1. *Un couple (H, G) est dit quasi-primitif (respectivement primitif) si G ne contient aucun sous-groupe (respectivement aucun sous-groupe distingué) G_o avec $G_o \in \mathcal{L}(\mathcal{G}/\mathcal{H})$*

Classiquement [HW] on appelle degré de symétrie de M le nombre entier

$$\delta(M) = \sup(\dim(G)),$$

$$G \in \mathcal{L}(M) \text{ et } G \text{ est compact.}$$

Nous allons maintenant nous restreindre à la sous-collection $\mathcal{R}(M) \subset \mathcal{L}(M)$ constituée des groupes de Lie résolubles. Autrement dit M est une solvariété (solvmanifolds) si $\mathcal{R}(M)$ n'est pas vide. Pour une étude détaillée des $\mathcal{R}(M)$ lorsque M est compacte, on renvoie au panorama de L. Auslander [AL] et à [MO] et [MO] pour des considérations plus ciblées, [e.g. cohomologie ou Homotopie des dites variétés].

Les variétés ayant le degré primitif nul sont les quotients des groupes de Lie par leurs sous-groupes fermés discrets. Quand ces variétés sont compactes, les sous-groupes de Lie stabilisateurs des points de variétés en question sont des réseaux cocompactes, [RA].

La notion de degré qui est étroitement liée aux notions combinatoires des numéros 1 et 2 est celle de degré relatif.

On fixe un groupe de Lie $G \in \mathcal{L}(M)$, ou ce qui revient au même une géométrie particulière dans la variété M . On désigne par $\mathcal{L}_G(M)$ la sous-collection des $G' \in \mathcal{L}(M)$ avec $G' \subset G$. La question est d'“optimiser” dans un sens à préciser le choix de G' dans $\mathcal{L}_G(M)$. Puisque pour chaque choix $G' \in \mathcal{L}_G(M)$, M est identifié à une paire (H', G') , les choix des H' étant paramétrés par les points x de M ; on associera à la paire (H', G') le nombre rationnel

$$r_{G'}(M) = \frac{\dim H'}{\operatorname{codim} H' + 1} = \frac{\dim H'}{\dim M + 1};$$

où M est l'espace homogène G'/H' . Ce nombre ne dépend que de $G' \in \mathcal{L}_G(M)$; de sorte que pour G' et G'' dans $\mathcal{L}_G(M)$, la comparaison des paires (H', G') et (H'', G'') peut en fait dépendre des invariants topologiques ou géométriques du couple (G, M) , (voir par [ON] pour le cas des variétés riemanniennes homogènes compactes). Notre but est de comparer (H', G') et (H'', G'') au moyen des nombres rationnels $r_{G'}(M)$ et $r_{G''}(M)$. Posons

$$d_G(M) = \min_{G' \in \mathcal{L}_G(M)} \left\{ \frac{\dim H'}{\operatorname{codim} H'} \right\}$$

Définition 2.1.2. *Le nombre rationnel $d_G(M)$ est appelé le degré primitif de (G, M) .*

Il est clair que si G' et G'' sont dans $\mathcal{L}_G(M)$ la relation d'inclusion $G'' \subseteq G'$ entraîne à $d_{G''}(M) \leq d_{G'}(M)$.

Exemples. a) Si une variété M possède une structure de groupe de lie compatible avec sa topologie générale alors $d(M) = 0$.

b) Si Γ est un sous-groupe discret fermé dans un groupe de lie connexe G alors $d(\Gamma \backslash G) = 0$. On a l'inégalité $d(M) \leq d_G(M)$ pour tout $G \in \mathcal{L}(M)$.

Définition 2.1.3. *Pour $G \in \mathcal{L}(M)$ on dit que (G, M) est quasi-primitifs si $\mathcal{L}_G(M) = \{G\}$; un groupe de lie $G \in \mathcal{L}(M)$ est dit non quasi-primitif si le cardinal de $\mathcal{L}_G(M)$ est supérieur à 1.*

On voit sans difficulté que les propriétés suivantes sont équivalentes

- (i) $G \in \mathcal{L}(M)$ est quasi-primitif ;
- (ii) $d_G(M) = r_G(M)$

2.2. Réductibilité des diagrammes pondérés.

Désormais on se restreint à la catégorie des groupes de Lie complètement résolubles et à la dynamique de ces groupes dans leurs variétés symplectiques homogènes.

Soit G un groupe de Lie complètement résoluble. Pour une forme $\omega \in \Omega^2_{\mathbb{C}}(G)$, on considère la variété symplectique $(G/H, \omega)$ où H est le sous-groupe

connexe dont l'algèbre de Lie engendre le noyau de ω . On note encore ω la forme symplectique de G/H héritée de $\omega \in \Omega_\ell^2(G)$. Naturellement $G \in \mathcal{L}(M)$ où M désigne la variété G/H . On identifie M avec la paire (H, G) et le couple (M, ω) avec le triplet (H, G, ω) ou (G, H, ω) .

Les notations $\mathcal{L}(M, \omega)$ et $\mathcal{L}_G(M, \omega)$ ont un sens évident. On peut parler des degrés primitifs symplectique et de degré primitif relatif. Nous les désignerons respectivement par

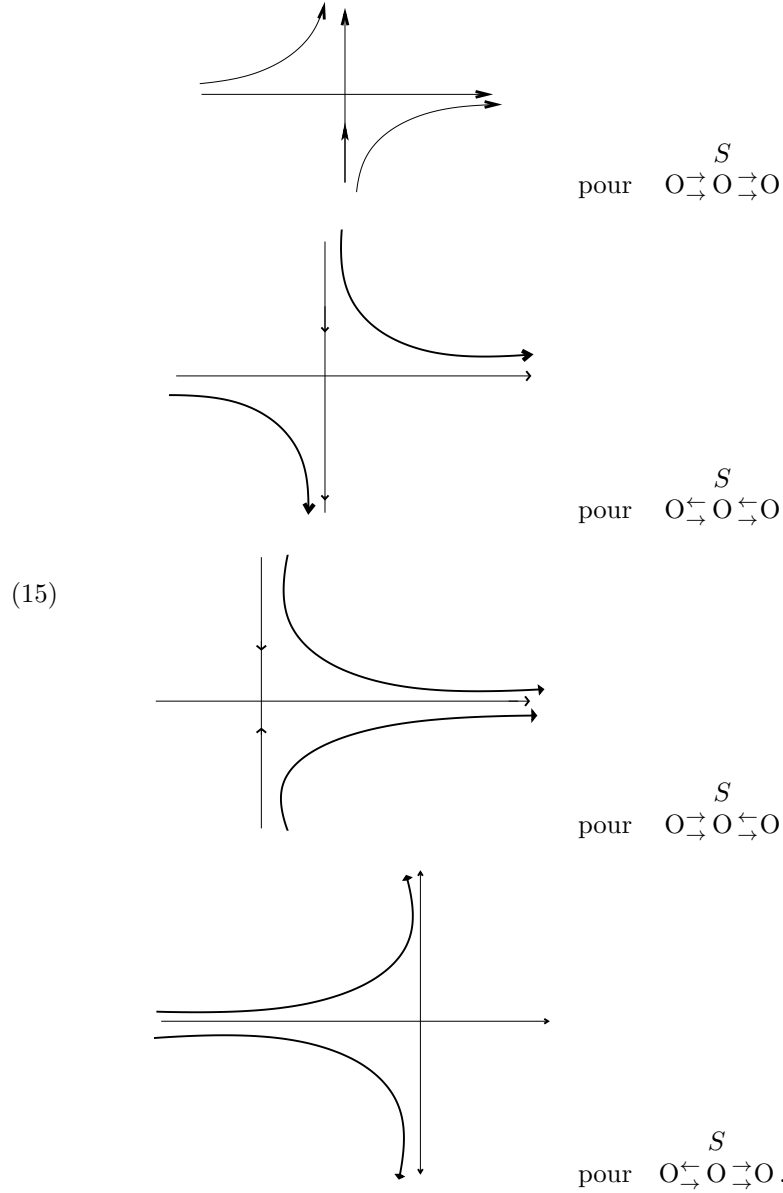
$$\begin{aligned} d(M, \omega) &= \min(d^{G'}(M)), \\ G' &\in \mathcal{L}_G(M, \omega) \\ d_G(M, \omega) &= \min(r_{G'}(M)), \\ G' &\in \mathcal{L}(M, \omega) \end{aligned}$$

Soit maintenant $(\omega, F) \in \Omega_\ell^2(G) \times \mathcal{F}(G)$ et soit (G_k, H_k, ω_k) le système associé. On sait pouvoir identifier M_k avec (G_k, H_k) et (M_k, ω_k) avec (G_k, H_k, ω_k) . Par abus de notations habituel ω_k désigne tout aussi bien $\omega_k \in \Omega_\ell^2(G_k)$ que la forme symplectique de M_k qui en est déduite.

Nous allons établir des liens entre les natures des sommets du graphe orienté $gr(\omega, F)$, (ou du diagramme pondéré $d(\omega, F)$) avec la primitivité de G_k dans $\mathcal{L}_{G_k}(M_k, \omega_k) = \mathcal{L}_{G_k}(M_k)$.

Les sommets réguliers sont en fait de deux types : Ceux de type (I) sont appelés des sommets hyperboliques croissants, alors que ceux de type (II) sont de type hyperbolique décroissant [NB 5]. De sorte que dans les coordonnées (G_k, H_k) avec les relations d'inclusion mises en évidence au numéro 1 les sommets réguliers

et singuliers sont présentés de façon dynamique comme ci-dessous, (voir [NB 5]).



La définition suivante est l'analogie des relations de ONISHCHIK pour les paires riemanniennes transitives [ON].

Deux sommets S_k et S_ℓ d'un graphe $\text{gr}(\omega, F)$ sont dites *équivalentes* si les variétés G_k/H_k et G_ℓ/H_ℓ sont canoniquement identiques, ils sont *inéquivalents* sinon. L'expression canoniquement identiques a le sens suivant : $\dim G_k/H_k = \dim G_\ell/H_\ell$ et soit $G_k \in \mathcal{L}(G_\ell/H_\ell)$ soit $G_\ell \in \mathcal{L}(G_k/H_k)$.

Lorsque deux sommets S_k et S_ℓ sont équivalents on a nécessairement l'une des relations d'inclusion entre paires $(G_k, H_k) \subset (G_\ell, H_\ell)$ ou $(G_\ell, H_\ell) \subset (G_k, H_k)$, (voir [O]). Lorsque (G_k, H_k) est équivalent à (G_ℓ, H_ℓ) avec $(G_k, H_k) \subset (G_\ell, H_\ell)$, la paire (G_ℓ, H_ℓ) est réductible à la paire (G_k, H_k) ; dans ce cas tous les sommets situés entre (G_k, H_k) et (G_ℓ, H_ℓ) sont réguliers de type hyperbolique croissant. Les affirmations qui suivent sont faciles à vérifier.

Proposition 2.2.1.

- (i) Un sommet hyperbolique croissant est équivalent aux deux sommets qui lui sont adjacents.
- (ii) Un sommet hyperbolique décroissant est non équivalent aux deux sommets qui lui sont adjacents.
- (iii) Un sommet singulier attractif est équivalent au sommet qui lui est adjacent à gauche.
- (iv) Un sommet singulier répulsif est équivalent au sommet qui lui est adjacent à droite .

Nous nous proposons d'établir un lien étroit entre le degré primitif relatif et la combinatoire des graphes [ou si l'on veut, des diagrammes pondérés].

Soit G un groupe de Lie complètement résoluble. Soit $\omega \in \Omega_\ell^2(G)$. Soit H le sous-groupe connexe de G dont l'algèbre de Lie engendre le noyau de ω . La variété symplectique $(G/H, \omega)$ est identifiée au triplet (G, H, ω) .

Théorème 2.2.2. *On suppose que la paire (G, H) est quasi-primitive $r_G(M) = d_G(M)$. Si un diagramme pondéré $d(\omega, F)$ est connexe, alors il possède au plus trois sommets singuliers .*

Esquisse de démonstration.

La preuve s'appuie sur les propositions 1.3.1 et 1.3.2. En fait l'hypothèse $d_G(M) = r_G(M)$ entraîne que le sommet $(G, H) = S$ de $d(\omega, F)$ est hyperbolique décroissante à sa gauche. Puisque $d(\omega, F)$ est connexe il a la forme

$$0 \rightarrow 0 \cdots 0 \xrightarrow{S} 0 .$$

Soit S' le sommet singulier le plus proche du sommet S ; ce sommet est attractif. Si $d(\omega, F)$ est simple alors S' est l'unique sommet singulier de $d(\omega, F)$. on déduit que $d(\omega, F)$ possède un seul sommet singulier.

Si ce n'est pas le cas la variété symplectique M' définie par le sommet singulier S' est de dimension > 0 . La proposition 1.3.2 assure que le sommet S' est équivalent à un sommet singulier S'' qui est nilpotent et répulsif. La connexité de $d(\omega, F)$ joints à la proposition 1.3.1 entraîne qu'il existe un et un seul sommet singulier S''' à gauche de S'' . Cela achève la démonstration du théorème .

Remarque 2.2.3. Du théorème 2.2.2 on déduit qu'en fait un diagramme connexe possède au plus quatre sommets singuliers. Avec la convention de contraction sommets hyperboliques voici les seuls modèles des diagrammes connexes

$$\begin{array}{ll}
(\alpha) & O \rightarrow O \xleftarrow{(m_1)} O \rightarrow O \xleftarrow{(n_1)} O \rightarrow O \xleftarrow{(m_2)} O \rightarrow O \xleftarrow{(n_2)} O \rightarrow O \xleftarrow{(m_3)} O \\
& \text{associé au graphe} \begin{array}{ccccccc} O & \rightarrow & O & \leftarrow & O & \rightarrow & O & \leftarrow & O & \rightarrow & O \\ & & \searrow \\ & & O & & O & & O & & O & & O \end{array} \\
(\beta) & O \rightarrow O \xleftarrow{(m_1)} O \rightarrow O \xleftarrow{(n_1)} O \rightarrow O \xleftarrow{(m_2)} O \\
& \text{associé au graphe} \begin{array}{ccccccc} O & \rightarrow & O & \leftarrow & O & \rightarrow & O & \leftarrow & O \\ & & \searrow & & \searrow & & \searrow & & \searrow \\ & & O & & O & & O & & O \\ & & & & & & & & \downarrow \\ & & & & & & & & O \end{array} \\
(\gamma) & O \rightarrow O \xleftarrow{(m_1)} O \rightarrow O \xleftarrow{(n_1)} O \\
& \text{associé au graphe} \begin{array}{ccccccc} O & \rightarrow & O & \leftarrow & O & \rightarrow & O \\ & & \searrow & & \searrow & & \searrow \\ & & O & & O & & O \end{array} \\
(\delta) & O \rightarrow O \xleftarrow{(m_1)} O \\
& \text{associé au graphe} \begin{array}{ccccccc} O & \rightarrow & O & \leftarrow & O \\ & & \searrow & & \searrow \\ & & O & & O \\ & & & & \downarrow \\ & & & & O \end{array}
\end{array}$$

Il faut comprendre l'association de diagramme au graphe ci-dessus de la façon qui suit.

(α) le diagramme possède quatre sommets singuliers; tous les sommets réguliers compris entre deux sommets singuliers consécutifs sont deux à deux équivalents, ces sommets réguliers sont répartis en trois classes d'équivalence dont chacune contient plusieurs sommets réguliers.

(β) Le diagramme possède deux sommets singuliers ; il y a trois classes d'équivalence de sommet régulier; la classe située à l'extrême droite contient un seul sommet régulier.

(γ) Le diagramme possède deux sommets singuliers et il y a deux classes de sommet régulier dont chacune contient plusieurs sommets réguliers.

(δ) Le diagramme possède un seul sommet singulier, il y a deux classes d'équivalence de sommet régulier, la classe située à l'extrême droite contient un seul sommet régulier.

Les cas (α) et (γ) sont des diagrammes et graphes des paires non quasi-primitives les cas (β) et (δ) sont ceux des paires quasi-primitives. De plus (γ) est simple

2.3. Sommets singuliers et feuilletages invariants.

Soit (M, ω) une variété symplectique homogène et $\mathcal{L}(M, \omega)$ la collection de ses dynamiques différentiables. Supposons que $\mathcal{L}(M, \omega)$ contient un groupe de Lie complètement résoluble G . On sait que chaque choix d'un point x dans M donne lieu à l'identification de M avec une paire (G, H) et de (M, ω) avec un triplet (G, H, ω) . A chaque $F \in \mathcal{F}(G)$ correspond les objets combinatoires $\text{gr}(\omega, F)$ et $d(\omega, F)$ ayant pour *sommet extrémal* $(G, H) = S$.

Nous allons montrer qu'en fait les poids des sommets répulsifs des $d(\omega, F)$ constituent des obstructions à l'existence de feuilletages lagrangiens invariants par G .

2.3.0. Simplicité des graphes $\text{gr}(\omega, F)$ et feuilletages lagrangiens.

Les données (M, ω) , $G \in \mathcal{L}(M, \omega)$ sont comme ci-dessus, viz G est complètement résoluble. On identifie M et (M, ω) avec (G, H) et (G, H, ω) respectivement. Nous conservons l'abus d'écriture convenu, viz ω est l'image inverse de la forme symplectique de (M, ω) par l'identification $G/H \sim M$.

On sait construire dans M d'autres géométries liées à (M, ω) . E.g :

- (i) Feuilletages lagrangiens, [NB 1].
- (ii) Structures bilagrangiennes, [NB 5].
- (iii) Structures kähleriennes affinement plates [NB 4].

En général ces structures ne sont pas des invariants de la dynamique donnée $G \in \mathcal{L}(M, \omega)$, bien que celle-ci joue un grand rôle dans leur construction, [NB 5]. A l'opposé de la dernière remarque, il arrive que l'existence seule d'un certain type de dynamique $G \in \mathcal{L}(M)$ ait des conséquences spectaculaires sur la géométrie globale de la variété M . Les théorèmes de [BG 1] et de Dusa Mc Duff, [Mc D] en sont des exemples frappants. La conjecture des tores plats est l'un des motivations de ce travail.

Ci-dessous un premier résultat qui lie la simplicité des $\text{gr}(\omega, F)$ aux feuilletages lagrangiens invariants. On va commencer par fixer quelques identifications combinatoires.

Soit G un groupe de Lie complètement résoluble. Fixons une 2-forme $\omega \in \Omega_{\mathbb{R}}^2(G)$. Considérons deux séries de compositions F et F' dans $\mathcal{F}(G)$. Nous allons choisir des éléments de comparaison de $\text{gr}(\omega, F)$ à $\text{gr}(\omega, F')$ et de $d(\omega, F)$ à $d(\omega, F')$ respectivement. Si on fait abstraction de sous-groupes composant F et F' les graphes (resp. les diagrammes) associés à (ω, F) et à (ω, F') peuvent présenter des configurations géométriques ou combinatoires identiques. Nous allons nous intéresser aux sommets singuliers.

Définition 2.3.1. *Deux graphes $\text{gr}(\omega, F)$ et $\text{gr}(\omega, F')$ [resp. deux diagrammes pondérés $d(\omega, F)$ et $d(\omega, F')$] sont dits équivalents si et seulement s'ils ont des sommets singuliers identiques.*

Remarque 2.3.2.

Avec la convention de contraction des sommets réguliers adaptée deux graphes distincts peuvent donner lieu au même diagramme contracté. Ainsi *aller des classes d'isomorphisme des algèbres de Lie semi-simples sur un corps algébriquement clos* à l'unique *diagramme* de Dynkin associé est l'analogie de passage des classes d'équivalence des graphes $\text{gr}(\omega, F)$, $F \in \mathcal{F}(G)$ aux diagrammes contractés.

On notera que les multiplicités des arrêtes (ou sommets) hyperboliques des diagrammes contractés permet de distinguer les graphes simples; par exemple le diagramme

$$\begin{array}{c} S \\ \text{O} \rightarrow \text{O} \begin{array}{c} \leftarrow \\ \rightarrow \end{array} \text{O} \\ (1) \quad (1) \end{array}$$

correspond à une surface orientée; son graphe est distinct de celui du diagramme

$$\begin{array}{ccc} \mathbf{O} & \rightarrow & \mathbf{O} \xleftarrow{\quad} \mathbf{O} \\ (2) & & (2) \end{array}$$

qui correspond à une variété symplectique de dimension 4. Par conséquent l'expression "diagramme contracté" s'entendra toujours multiplicités des sommets réguliers comprises même si on omet volontairement de les expliciter.

Les notations $G, \omega, (M, \omega) = (G, H, \omega)$ sont celles fixées dans les sections et sous-sections précédentes.

Théorème 2.3.3. *Il y a correspondance bijective entre les classes d'équivalence des graphes orientés simples $\text{gr}(\omega, F)$ dans $\{\text{gr}(\omega, F)/F \in \mathcal{F}(G)\}$ et les feuilletages lagrangiens dans (M, ω) qui sont invariants par G*

Démonstration. Soit $\text{gr}(\omega, F)$ un graphe orienté simple. Si $2m$ est la dimension de G/H le diagramme $d(\omega, F)$ possède exactement m sommet hyperboliques décroissants et un seul sommet singulier attractif S . Il a la forme contractée

$$\mathbf{O} \rightarrow \mathbf{O} \xleftarrow{\quad} \mathbf{O} .$$

Le sommet singulier S a pour coordonnées la paire $S = (G_{m+\ell}, H)$ où $\dim H = \ell$. Bien entendu on a $H \subset G_{m+\ell}$ et $i_{m+\ell}^* \omega = 0$. Le feuilletage de G par les classes à droite $\gamma G_{m+\ell}$ est invariant par les translations à gauche dans G et est projeté en un feuilletage lagrangien dans (M, ω) . Le feuilletage ainsi obtenu est invariant par l'action de G dans (M, ω) ; il ne dépend d'autre part que de la classe d'équivalence de $\text{gr}(\omega, F)$

Réciproquement, supposons que l'on ait dans (M, ω) un feuilletage lagrangien L qui est invariant par G . Soit $x_0 \in M$ un point dont le sous-groupe stabilisateur est H . Notons π la projection orbitale $\gamma \mapsto \gamma x_0$ et $L' = \pi^{-1}(L)$; ce dernier est un feuilletage invariant par les translations à gauche dans G . La feuille $L'(e)$ de L' qui contient l'élément neutre est un sous-groupe de G de dimension $m + \ell$ et contenant H . Puisque G est complètement résoluble, il résulte du classique deuxième théorème de Lie que l'on a un $F \in \mathcal{F}(G)$ tel que la feuille $L'(e)$ soit un sommet du graphe $\text{gr}(\omega, F)$.

Puisque H est inclus dans $L'(e)$ et que $i_{L'(e)}^* \omega = 0$, $L'(e)$ est l'unique sommet singulier de $d(\omega, F)$. Cela assure la simplicité de $d(\omega, F)$. Soit $F' \in \mathcal{F}(G)$ contenant le sous-groupe $L'(e)$. L'inclusion $H \subset L'(e)$ entraîne que $L'(e)$ est le seul sommet singulier de $d(\omega, F')$, de sorte que F' est dans la classe d'équivalence de F . Cela termine la démonstration du théorème 2.3.3.

Corollaire 2.3.4. *Si $\omega \in \Omega_{\mathbb{R}}^2(G)$ possède un diagramme semi-simple $d(\omega, F)$ qui est semi-nilpotent, alors (M, ω) possède un feuilletage lagrangien invariant par G .*

Preuve. Le théorème 1.4.1 permet de déformer $d(\omega, F)$ en un diagramme simple $d(\omega, F')$

Un des résultats clefs de ce travail se démontre en conjugant le théorème 2.3.3 ci-dessus et le théorème 2 de BENSON–GORDON dans [BG 2]. Voici le résultat clef en question.

Théorème 2.3.5. *Soit G un groupe de Lie complètement résoluble contenant un réseau cocompact Γ . On suppose que la variété compacte $\Gamma \backslash G$ possède une métrique Kahlerienne de classe de Kähler $[\alpha] \in H_{DR}^2(\Gamma \backslash G)$. Alors toute forme $\omega \in \Omega_\ell^2(G) \cap [\alpha]$ possède un diagramme pondéré simple $d(\omega, F)$*

Esquisse de démonstration. On commence par identifier $\Omega_\ell(G)$ avec $\Lambda(g^*) =$ l’algèbre extérieure du dual g^* de l’algèbre g de G . la suite spectrale de Hattori assure que $[\alpha] \cap \Omega_\ell^2(G)$ n’est pas vide, [HA]. Tout $\omega \in [\alpha] \cap \Omega_\ell^2(G)$ est symplectique. Soit $\mathcal{D}G$ le sous-groupe des commutateurs de G . D’après le théorème 2 de [BG 2] si $F \in \mathcal{F}(G)$ contient $\mathcal{D}G$ alors $\mathcal{D}G$ est un sommet singulier répulsif de poids nul. Le théorème 1.4.1 s’applique à cette situation. Par conséquent ω possède un diagramme simple .

Remarque 2.3.6. La 2-forme $\omega \in [\alpha] \cap \Omega_\ell^2(G)$ est une forme symplectique. Le théorème 2.3.3 assure que (G, ω) possède un feuilletage lagrangien invariant par les translations à gauche. Ce feuilletage se projette en un feuilletage de $\Gamma \backslash G$. En général on n’obtient pas ainsi un feuilletage lagrangien pour $(\Gamma \backslash G, \alpha)$. Si la classe de Kähler $[\alpha]$ est G -homogène, i.e α se relève dans G en une forme invariante à gauche, on aura le résultat suivant

Corollaire 2.3.7 *Les données G, Γ sont comme dans le théorème 2.3.5. Si $\Gamma \backslash G$ possède une structure Kählerienne $(\Gamma \backslash G, \alpha, J)$ dont la forme de Kähler α est G -homogène, alors $(\Gamma \backslash G, \alpha)$ possède un feuilletage lagrangien .*

La section suivante est dominé par des considérations topologico-géométriques liées à la conjecture des tores plats dont voici l’énoncé:

Conjecture: Soit Γ un réseau cocompact dans le groupe de lie complètement résoluble G . Si la variété $\Gamma \backslash G$ possède une métrique de kahler alors elle est difféomorphisme au tore plat.

[NB6] est consacré partiellement à cette conjecture .

3. GÉOMÉTRIE DES FORMES FERMÉES.

Cette section est consacrée aux rappels des notions de géométrie affine qui seront utiles pour une démonstration de la conjecture des tores plats. Certains énoncés sont une réécriture adaptée à nos objectifs actuels des résultats contenus dans les [NB j], $j = 1, 4, 5$.

Rappelons quelques définitions utiles dans la suite.

Soit (M, ω) une structure symplectique dans la variété M .

Définition 3.0.1. *Une structure bilagrangienne dans (M, ω) consiste en deux feuilletages lagrangiens \mathcal{F} et \mathcal{F}' qui sont partout transverses .*

Soit G un groupe de Lie complètement résoluble. Soit ω une 2-forme fermée invariante à gauche dans G . Soit H le sous-groupe de Lie connexe de G dont l'algèbre de Lie engendre le noyau de ω . Soit (M, ω) la variété symplectique définie par (G, H, ω) . On suppose une fois pour toutes que ω possède un diagramme simple $d(\omega, F)$, dont l'unique sommet singulier est noté S . Posons $2m = \dim M$ et $\ell = \dim H$. Les coordonnées de S sont la paire $(G_{m+\ell}, H_{m+\ell})$. Le sous-groupe $G_{m+\ell}$ contient les sous-groupes H_k des sommets $S_k = (G_k, H_k)$ pour $m + \ell < k$. Le sous-groupe $G_{m+\ell}$ engendre dans G_k le feuilletage par les classes $gG_{m+\ell}$, $g \in G_k$, $m + \ell < k$.

On va calquer les méthodes mises au point dans les travaux antérieurs pour construire dans chaque M_k une structure bilagrangienne dont un des feuilletages est engendré par $G_{m+\ell}$ comme décrit ci-dessus. (voir [NB 5] par exemple). Pour cela on va montrer qu'il y a une relation intéressante entre M_k et M_{k+1} .

3.1. M_k comme "M.W-réduction" de M_{k+1} .

Le but de ce numéro 3.1 est de montrer que M_k peut être construite comme réduction de MARS DEN-WEINSTEIN de M_{k+1} . Considérons le graphe $\text{gr}(\omega, F)$ réduit à la portion portant les sommets G_k et G_{k+1}

$$\begin{array}{ccccc} \leftarrow & H_k & \leftarrow & H_{k+1} & \leftarrow \\ & \downarrow & & \downarrow & \\ \rightarrow & G_k & \rightarrow & G_{k+1} & \rightarrow \\ & \downarrow & & \downarrow & \\ \leftarrow & M_k & \leftarrow & M_{k+1} & \leftarrow \end{array}$$

En posant $\mathcal{M}_{k+1} = G_k/H_{k+1}$ on obtient le diagramme commutatif

$$(16) \quad \begin{array}{ccc} & i & \\ \mathcal{M}_{k+1} & \hookrightarrow & M_{k+1} \\ \downarrow \pi & & \\ M_k & \cdot & \end{array}$$

Les formes symplectiques des variétés symplectiques (M_k, ω_k) sont liées par $\pi^* \omega_k = i^* \omega_{k+1}$. Par ailleurs il est facile de vérifier que H_{k+1} est un sous-groupe de Lie distingué de H_k et que sa codimension ibidem est 1. Soit $\{\exp t\zeta, t \in \mathbb{R}\}$ un sous-groupe à un paramètre dans H_k tel que H_k est produit semi-direct de $\{\exp t\zeta, t \in \mathbb{R}\}$ par H_{k+1} . Le champ de vecteurs ζ donne lieu à un champ des vecteurs dans M_{k+1} qui est invariant par G_{k+1} .

Considérons maintenant le champ localement hamiltonien $\tilde{\zeta}$ défini par

$$\tilde{\zeta}(x) = \frac{d}{dt} [\exp t\zeta \cdot x]_{t=0}.$$

Naturellement ce champ est partout tangent au feuilletage de M_{k+1} par les hypersurfaces $\gamma \cdot \mathcal{M}_{k+1}$, $\gamma \in G_{k+1}$.

Nos hypothèses générales sur la connexité et la simple connexité des groupes de Lie considérés entraînent la simple connexité des M_k . La forme $i(\tilde{\zeta})\omega_{k+1}$ possède donc une primitive μ_ζ . Il en résulte que l'action de $\{\exp t\zeta, t \in \mathbb{R}\}$ dans

M_{k+1} est hamiltonienne. L'application moment $\mu : M_{k+1} \mapsto \mathbb{R}$ étant définie par

$$\langle \mu(x), \zeta \rangle = \mu_\zeta(x).$$

Il est clair qu'en restriction à la sous-variété \mathcal{M}_{k+1} la forme $i(\tilde{\zeta})\omega_{k+1}$ est identiquement nulle. Cela montre que \mathcal{M}_{k+1} est une surface de niveau de l'application moment. Comme les orbites de $\{\exp t\zeta, t \in \mathbb{R}\}$ dans \mathcal{M}_{k+1} ne sont pas autre chose que les feuilles du noyau de $i^*\omega_{k+1} = \pi^*\omega_k$ la variété réduite est la variété M_k .

La non équivalence de deux sommets adjacents de $d(\omega, F)$ a un contenu géométrique. Ainsi dans la portion de $d(\omega, F)$ constituée des sommets hyperboliques décroissants

$$\begin{array}{ccc} S' & S \\ \rightarrow & \mathbb{O} \xleftarrow{\quad} \mathbb{O} \rightarrow \end{array}$$

la variété symplectique associée à S' se déduit de celle associée au sommet adjacent S par réduction de l'espace des phases suivant la procédure de MARS DEN-WEINSTEIN, [M W]. Comme conséquence de ces relations entre des sommets non équivalents, nous allons partir d'objets géométriques dans M_k pour construire des analogues dans M_{k+1} .

Rappelons que les M_k de (16) sont déduites du diagramme pondéré simple $d(\omega, F)$. Soit L_k le feuilletage lagrangien de (M_k, ω_k) engendré par le sous-groupe $G_{m+\ell}$. Naturellement L_{k+1} et L_k sont compatibles dans le sens suivant :

- (a) On observe que les feuilles de L_{k+1} passant par les points de \mathcal{M}_{k+1} sont tout entières contenues dans \mathcal{M}_{k+1} .
- (b) Les composantes connexes des images inverses par $\pi; \mathcal{M}_{k+1} \mapsto M_k$ des feuilles de L_k sont des feuilles de L_{k+1} .

Théorème [NB 5]. *On suppose que M_k porte un deuxième feuilletage lagrangien \mathcal{N}_k transverse à L_k . Alors M_{k+1} porte aussi un deuxième feuilletage lagrangien \mathcal{N}_{k+1} transverse à L_{k+1} et compatible avec \mathcal{N}_k dans le sens suivant : les composantes des traces dans \mathcal{M}_{k+1} des feuilles de \mathcal{N}_{k+1} sont des revêtements des feuilles de \mathcal{N}_k .*

Esquisse de la démonstration. On va se restreindre à décrire les étapes de la démonstration de façon à ce que le lecteur puisse éventuellement vérifier les détails sans difficultés violentes.

1ère étape. On choisit un sous-groupe à un paramètre $\{\exp t\xi, t \in \mathbb{R}\} \subset G_{k+1}$ tel que $G_{k+1} = G_k \times \{\exp t\xi, t \in \mathbb{R}\}$ le champ de vecteurs hamiltonien $\tilde{\xi}$ est sans point fixe dans M_{k+1} . Le système différentiel $i(\tilde{\xi})\omega_{k+1} = 0$ est complètement intégrable. On désigne par \mathcal{G}_k le feuilletage de M_{k+1} par les $\gamma \cdot \mathcal{M}_{k+1}$, $\gamma \in G_{k+1}$. L'intersection de \mathcal{G}_k avec " $i(\tilde{\xi})\omega_{k+1} = 0$ " est un feuilletage de codimension 2 dans M_{k+1} subordonné à \mathcal{G}_k .

2ème étape. On considère le feuilletage de \mathcal{M}_{k+1} par les feuilles de $\mathcal{G}_k \cap \left[i \left(\tilde{\xi} \right) = 0 \right]$. On note \mathcal{D} la distribution tangente ce feuilletage de \mathcal{M}_{k+1} ; \mathcal{D} est horizontal pour la projection $\pi : \mathcal{M}_{k+1} \mapsto M_k$ dans le sens suivant : $d\pi$ envoie bijectivement \mathcal{D}_y sur $T_{\pi(y)}M_k$. Il existe dans \mathcal{D} une sous-distribution \mathcal{D}_k qui est projetée par π sur \mathcal{N}_k . Ainsi les feuilles de \mathcal{D}_k sont des revêtements des feuilles de \mathcal{N}_k . Evidemment \mathcal{D}_k est transverse à L_{k+1} dans \mathcal{M}_{k+1} .

3ème étape. On observe que le champ de vecteurs $\tilde{\xi}$ est sans zéro dans M_{k+1} il définit donc un feuilletage par des courbes régulières. De plus chaque courbe intégrale de $\tilde{\xi}$ est une transversale pour le feuilletage \mathcal{G}_k de M_{k+1} . On peut donc construire un “feuilletage réglé” de M_{k+1} par glissement des feuilles de \mathcal{D}_k le long des courbes intégrales de $\tilde{\xi}$. Plus précisément si $N(x)$ est une feuille de \mathcal{D}_k passant par $x \in \mathcal{M}_{k+1}$ alors on désigne par $\mathcal{N}_{k+1}(x)$ la sous-variété de M_{k+1} définie par $\mathcal{N}_{k+1}(x) = \{ \exp t\tilde{\xi} \cdot (N(x)), t \in \mathbb{R} \} = \bigcup_{t \in \mathbb{R}} (\exp t\tilde{\xi})(N(x))$.

C'est une sous-variété connexe de dimension $= \frac{1}{2} \dim M_{k+1}$, de plus $\mathcal{N}_{k+1}(x)$ est lagrangien.

4ème étape. Il est facile de voir que si $N(x) \cap N(x')$ est vide, alors il en sera de même de $\mathcal{N}_{k+1}(x) \cap \mathcal{N}_{k+1}(x')$ et que M_{k+1} est réunion des $\mathcal{N}_{k+1}(x)$. Pour terminer on observera que le feuilletage \mathcal{N}_{k+1} ainsi construit est partout transverse à L_{k+1} et possède la propriété de compatibilité avec \mathcal{N}_k qui est attendue. Ici se termine la démonstration du théorème [NB 5]

Maintenant il est facile de montrer que celle des variétés (M_k, ω_k) qui est de dimension 2 possède une structure bilagrangienne dont l'un des deux feuilletages est engendré par $G_{m+\ell}$. Le théorème [NB 5] ci-dessus assure qu'il est de même dans chacune des (M_k, ω_k)

3.2. Structures bilagrangiennes affines [NB 1], [NB 5], [HH].

Lorsque la variété symplectique (M, ω) possède deux feuilletages lagrangiens transverses \mathcal{D}_1 et \mathcal{D}_2 il existe une unique connexion linéaire D satisfaisant les conditions suivantes

- (i) Le tenseur de torsion de D est nul ;
 - (ii) $D\omega = 0$;
 - (iii) Pour tout champ de vecteurs tangent X , $D_X(\mathcal{D}_j) \subset \mathcal{D}_j$, $j = 1, 2$.
- Voici l'expression de D . Pour deux champs de vecteurs X et Y on définit $D_X^o Y$ en posant

$$i(D_X^o Y)\omega = L_X i(Y)\omega.$$

Posons maintenant $X = (X_1, X_2) \in \mathcal{D}_1 \times \mathcal{D}_2$; l'expression de $D_X Y$ est :

$$(17) \quad D_{(X_1, X_2)}(Y_1, Y_2) = (D_{X_1}^o Y_1 + [X_2, Y_1]_1, D_{X_2}^o Y_2 + [X_1, Y_2]_2).$$

$([X, Y]_j)$ signifie la \mathcal{D}_j -composante de $[X, Y]$, $j = 1, 2$.
En général le tenseur de courbure de D est non nul.

Théorème [HH]. *Les conditions suivantes sont équivalentes :*

- (i) *Le tenseur de courbure de D est nul.*
- (ii) *Dans un voisinage de tout point il existe des coordonnées de Darboux $(q_1, \dots, q_m, p_1, \dots, p_m)$ telle que les q_j sont des intégrales premières de \mathcal{D}_1 et les p_j sont des intégrales premières de \mathcal{D}_2*

Dans [NB 4] on a prouvé une version plus forte du théorème de HESS ci-dessus. Avant d'être plus précis retournons quelques instants à la situation du diagramme (16) :

$$\begin{array}{ccc}
 H_k & \leftarrow & H_{k+1} \\
 \downarrow & & \downarrow \\
 G_k & \rightarrow & G_{k+1} \\
 \downarrow & & \downarrow \\
 & & i \\
 \mathcal{M}_{k+1} & \hookrightarrow & M_{k-1} \\
 \downarrow \pi & & \\
 M_k & & \cdot
 \end{array}$$

On écrit comme précédemment H_k sous la forme de produit semi-direct

$$H_k = H_{k+1} \times \{\exp t\xi, t \in \mathbb{R}\}.$$

Soit $x_o \in M_{k+1}$ le point image de H_{k+1} par la projection canonique de G_{k+1} sur M_{k+1} . Posons $\zeta_o = \frac{d}{dt} \exp t\xi \cdot (x_o)|_{t=0}$. On définit pour tout $x \in M_{k+1}$

$$\zeta(x) = d\gamma_{x_o}(\zeta_o)$$

où γ est un élément de G_{k+1} tel que $x = \gamma(x_o)$. Le champ des vecteurs tangents $x \mapsto \zeta(x)$ est bien défini, sans point fixe et invariant par G_{k+1} . Le champ ζ est tangent à \mathcal{M}_{k+1} et engendre le noyau de $\pi^*\omega_k = i^*\omega_{k+1}$.

Posons aussi

$$G_{k+1} = G_k \times \{\exp t\xi, t \in \mathbb{R}\}$$

Le champ hamiltonien $x \mapsto \tilde{\xi}(x)$ déduit de l'action de $\{\exp t\xi, t \in \mathbb{R}\}$ dans M_{k+1} est sans zéro. La fonction

$$x \mapsto \omega_x(\tilde{\xi}, \zeta)$$

est partout non nulle.

On définit le champ de vecteur colinéaire à $\zeta, \hat{\zeta}$, en posant en $x \in M_{k+1}$

$$\hat{\zeta}(x) = \frac{1}{\omega_x(\tilde{\xi}, \zeta)} \zeta(x).$$

Lemme ([NB j], j = 4,5). *Le champ $\hat{\zeta}$ est hamiltonien.*

Le lemme ci-dessus intervient dans la preuve du théorème suivant.

Théorème [NB 4]. *On se place dans les conditions de (16) et on admet que (M_k, ω_k) et (M_{k+1}, ω_{k+1}) possèdent des structures bilagrangiennes (L_k, \mathcal{N}_k) et $(L_{k+1}, \mathcal{N}_{k+1})$ qui sont compatibles et dont L_k et L_{k+1} sont engendrés par $G_{m+\ell}$.*

(i) *On suppose que dans un voisinage de chaque $y \in M_k$ il existe un système de coordonnées de Darboux $(q_1, \dots, q_m, p_1, \dots, p_m)$ vérifiant les conditions de HESS c'est à dire : les feuilles de L_k sont définies par $q_j = \text{cte}$ et celles de \mathcal{N}_k par $p_j = \text{cte}$.*

(ii) *On suppose en outre que si $(q'_1, \dots, q'_m, p'_1, \dots, p'_m)$ est un autre système des coordonnées de Darboux qui vérifie (i), la matrice jacobienne $\frac{D(q'_1, \dots, q'_m)}{D(q_1, \dots, q_m)}$ est constante et appartient au groupe orthogonal $O(m)$. Alors les mêmes conclusions (i) et (ii) valent dans un voisinage de tout point $x \in M_{k+1}$ pour la paire $(L_{k+1}, \mathcal{N}_{k+1})$.*

Esquisse de preuve.

1°) Il suffit de prouver le théorème pour les points x de \mathcal{M}_{k+1} .

1ère étape. On fixe un voisinage U de $x \in \mathcal{M}_{k+1}$ dont l'image par $\pi : \mathcal{M}_{k+1} \mapsto M_k$ est un ouvert domaine de coordonnées de Darboux $(q_1, \dots, q_m, p_1, \dots, p_m)$ vérifiant (i) et (ii). On remonte les fonctions q_j et p_j dans l'ouvert U .

On obtient ainsi dans U $2m$ fonctions $\tilde{q}_1, \dots, \tilde{q}_m, \tilde{p}_1, \dots, \tilde{p}_m$. Pour $\varepsilon > 0$ assez petit $\cup \exp(t\xi) \cdot U$ est un voisinage de x dans M_{k+1} .

$$|t| < \varepsilon$$

On prolonge les fonctions \tilde{q}_j et \tilde{p}_j dans $U_\varepsilon = \cup_{|t| < \varepsilon} \exp(t\xi) \cdot U$ en posant

$$\tilde{q}_j((\exp t\xi) \cdot y) = \tilde{q}_j(y) \quad \text{pour } y \in U,$$

$$\tilde{p}_j((\exp t\xi) \cdot y) = \tilde{p}_j(y).$$

Quitte à "diminuer" U_ε , on peut y trouver deux fonctions différentiables q_{m+1} et p_{m+1} vérifiant

$$i(\hat{\zeta}) \omega_{k+1} = dq_{m+1} \quad \text{et} \quad i(\tilde{\xi}) \omega_{k+1} = dp_{m+1}$$

Puisque $\omega(\tilde{\xi}, \hat{\zeta}) = 1$, le système des coordonnées locales

$$(\tilde{q}_1, \dots, \tilde{q}_m, q_{m+1}, \tilde{p}_1, \dots, \tilde{p}_m, p_{m+1})$$

vérifie (i). Naturellement les systèmes des coordonnées dans M_{k+1} obtenus comme ci-dessus vérifient les conditions (i) et (ii).

Il est facile de voir que celles de (M_k, ω_k) qui est de dimension 2 possède un atlas de Darboux vérifiant les conclusions (i) et (ii) du théorème ci-dessus. Il suffit pour cela de prendre des applications moment des actions de $\hat{\zeta}$ et de $\tilde{\xi}$ respectivement. On déduit du théorème [NB 4] ci-dessus que la variété symplectique (M, ω) d'où se déduisent les (M_k, ω_k) par réduction symplectiques successives

possède un atlas de Darboux vérifiant les conditions (i), (ii) pour la structure bilagrangienne (L, \mathcal{N})

Remarques 3.2.1. (a) En vertu du théorème de HESS la condition (i) équivaut à la nullité du tenseur de courbure de la connexion définie dans l'expression (17).

(b) La condition (ii) de changement de coordonnées locales montre que les fonctions à valeurs complexes

$$z_j = q_j + \sqrt{-1}p_j$$

satisfont l'équation de Cauchy–Riemann. Elles définissent par conséquent une structure de variété analytique complexe dans M_k .

(c) On déduit également de la conditions (ii) que les formes hermitiennes locales

$$h = \sum_j dz_j d\bar{z}_j$$

satisfont la condition de recollement. Autrement dit, sur l'intersection des domaines de définition des z_j et des z'_j on a

$$\sum_j dz_j d\bar{z}_j = \sum_j dz'_j d\bar{z}'_j.$$

Par conséquent les M_k sont des variétés kahleriennes. De plus les structures kahleriennes de M_k et de M_{k+1} sont compatibles dans le sens suivant : si $(z_1 \dots z_m)$ sont des coordonnées locales holomorphes de M_k , alors leurs images inverses $\pi^* z_j$ sont des restrictions à \mathcal{M}_{k+1} des fonctions analytiques complexes locales définies dans M_{k+1} .

(d) On montre en outre que la connexion linéaire D définie dans (17) est la connexion de Levi–Civita de M_k munie de la structure kählerienne ci-dessus. Nous allons donner un condensé des résultats mis en évidence ci-dessus sous la forme suivante.

Théorème 3.2.2. *Soit $\omega \in \Omega^2_{\mathbb{R}}(G)$; H est le sous-groupe de Lie connexe de G dont l'algèbre de Lie engendre le noyau de ω ; (M, ω) est la variété symplectique G -homogène déterminée par le triplet (G, H, ω) . On suppose que la forme ω possède un diagramme simple $d(\omega, F)$. Alors la variété symplectique (M, ω) possède une structure kahlerienne affinement plate (M, ω, J) et un feuilletage lagrangien L dont les feuilles sont des sous-variétés totalement réelles de la variété analytique complexe (M, J)*

Remarques 3.2.3. (a) La structure Kahlerienne (M, ω, J) est celle déterminée par une structure bilagrangienne (L, \mathcal{N}) et la structure affine de M est celle définie par la connexion localement D du couple (L, \mathcal{N}) suivant l'expression (17).

(b) Le théorème 3.2.2 dit que D est la connexion de Levi-Civita de la métrique riemannienne g_J définie par $g_J(u, v) = \omega(Ju, v)$

La connexion linéaire D préserve L et \mathcal{N} d'une part et d'autre part on a $DJ = 0$ et $D\omega = 0$. Ainsi du point de la géométrie riemannienne de (M, g_J) les feuilles de L (resp. de \mathcal{N}) sont des sous-variétés totalement géodésiques.

(c) Du point de vue de la géométrie affine du couple (M, D) les feuilles de L (resp. de \mathcal{N}) sont les sous-variétés affines .

(d) On observe que des structures mises en évidence dans M les seules visiblement G -homogènes sont la variété symplectique (M, ω) et la variété feuilletée (M, L) .

(e) Enfin puisque $D\omega = 0$ l'holonomie linéaire de D est un sous-groupe discret de $SL(m, \mathbb{R})$, $m = \dim M$. On sait que dans le cas des variétés compactes la complétude de D est conjecturée être intimement liée à cette inclusion du groupe d'holonomie linéaire dans $SL(m, \mathbb{R})$, [FGH], c'est la conjecture de MARKUS.

RÉFÉRENCES

- [ABCKT] **J. AMOROS, N. BURGER, K. CORLETTE, D. KOSCHICK and D. TOLEDO.** *Fundamental groups of compact Kahler manifolds.* Amer Math. Soc. Math. survey and Monographs vol. 44.
- [AU 1] **L. AUSLANDER.** *Bieberbach's groups on space groups and discrete uniform subgroups of Lie groups I.* Ann. Math. 71 (1960) 579–590.
- [AU 2] **L. AUSLANDER.** *An exposition of the structures of solvmanifolds.* Bull. of Amer. Math. Soc. 79 (1973) 227–261.
- [BG 1] **C. BENSON and C. GORDON.** *Kahler and symplectic structures on nilmanifolds topology* 27 (1988) 513–518.
- [BG 2] **C. BENSON and C. GORDON.** *Kahler structures on compact solvmanifolds.* Proc. of the Amer. Math. Soc. 108 (1990) 971–990.
- [BE] **A. BESSE.** *Einstein manifolds.* Ergebnisse der Math. und ihrer Grenzgebiete 3. Folge. Band 10.
- [B0] **N. BOURBAKI.** *Groupes et Algèbres de Lie.* vol. 7. Hermann Paris.
- [BW] **F. BRUHAT and H. WHITNEY.** *Comment. Math. Helv.* 33 (1959) 132–160.
- [CFG] **L. CORDERO, M. FERNANDEZ and A. GRAY.** *Symplectic manifolds with no Kahler structure.* Topology 25 (1986) 375–380.
- [DGMS] **P. DELIGNE, P. GRIFFITHS, J. MORGAN and D. SULLIVAN.** *Real homotopy theory of Kahler manifolds.* Inv. Math. 29 (1975) 245–274.
- [DN] **J. DORFNEISTER and K. NAKAJIMA.** *The fundamental conjecture* Acta Math. 160 (1988) 13–70.
- [FGH] **D. FRIED, W. GOLDMAN and M.W. HIRSCH.** *Affine manifolds with nilpotent holonomy group.* Comment Math. Helv. 56 (1981) 487–523.

- [G] **M. GROMOV.** *Sur le groupe fondamental d'une variété kahlérienne.* CR. Acad. Sci. Paris 308 (1989) 67–70.
- [GPV 1] **S.G. GINDIKIN, I.I. PIATECCKII, SAPIRO and E.B. VINBERG.** *Homogeneous Kähler manifolds in “Geometry of homogeneous bounded domains”.* CIME 1967.
- [GPV 2] **S.G. GINDIKIN, I.I. PIATECCKII, SAPIRO and E.B. VINBERG.** *On the classification and canonical realization of complex homogeneous bounded domains.* Trans. Moscow Math. Soc. 13 (1964) 340–403.
- [GH] **W. GOLDMAN and M.W. HIRSCH.** *Affine manifolds and Orbits of Algebraic groups.* Trans. Amer. Math. Soc. 295 (1986) 175–197.
- [GM] **W. GOLDMAN and J.J. NILLSON.** *The deformation theory of representations of fundamental groups of compact Kähler manifolds.* Publ. Math. IHES 67 (1988) 43–96.
- [GS] **V. GUILLEMIN and M. STENZEL.** *Grauert tube and the homogeneous Monge-Ampere equations.* J. Diff. Geom. 34 (1991) 561–570.
- [HA] **A. HATTORI.** *Spectral sequence in the de RHAM cohomology of fibre bundles.* Fac. sei. Univ. Tokyo 8 (1960) 289–331.
- [HH] **A. HESS.** *Connection on symplectic manifolds and Geometric quantization.* Lecture Notes in Math.
- [HW] **W.Y. HISIANG.** *Cohomology theory of Topological Transf. groups* Erg. der Math. une chrer Gr. band 85 Springer-Verlag.
- [KL 1] **J.L. KOSZUL.** *Homologie et Cohomologir des Algèbres de Lie.* Bull. Soc. Math. France 48 (1950) 65–127.
- [KL 2] **J.L. KOSZUL.** *Déformations des variétés localement plates.* Ann. Inst. Fourier 18 (1968).
- [L] **P. LIBERMANN.** *Problème d'équivalence en géométrie symplectique.* Astérisque 107 (1983) 43–68.
- [MA] **Y. MATSUSHIMA.** *On discrete subgroups and Homogeneous spaces of nilpotent Lie groups.* Nagoya Math. Jour. 2 (1951) 95–110.
- [Mc D 1] **Dusa Mc DUFF.** *The moment map for circle action on symplectic manifolds* JGP 5 (1988) 149–160.
- [Mc D 2] **Dusa Mc DUFF.** *Example of simply connected symplectic manifolds non kählerian.* Jour. Diff. Geom. 70 (1984) 267–277.
- [MI] **J. MILNOR.** *Fundamental groups of complete affinely flat manifolds.* Adv. in Math. 25 (1977) 178–187.
- [MO 1] **G.D. MOSTON.** *Cohomology of topological groups and solomani-folds.* Ann. of Math. 73 (1961) 20–48.
- [MO 2] **G.D. MOSTON.** *Fundamental groups of homogeneous spaces.* Ann. of Math. 66 (1957) 249–255.
- [MW] **J. MARSDEN and WEINSTEIN.** *Reduction of symplectic manifolds with symmetry.* Reports on Math. Phys. 5 (1974) 121–130.

- [NB 1] **NGUIFFO B. BOYOM.** *Variétés symplectiques affines.* Manuscripta Math. 64 (1989) 1–33.
- [NB 2] **NGUIFFO B. BOYOM.** *Structures affines homotpes à zéro.* Jour. Diff. Geom. 33 (1990) 859–911.
- [NB 3] **NGUIFFO B. BOYOM.** *Structures affines isotropes des groupes de Lie.* Annali Scuo. Norm. Sup. Pisa.
- [NB 4] **NGUIFFO B. BOYOM.** *Métriques kählériennes affinement plates.* Proc. London Math. Soc. 3 (1993) 358–380.
- [NB 5] **NGUIFFO B. BOYOM.** *Structures localement plates dans certaines variétés symplectiques.* Math Scand. 76 (1995) 61–84.
- [NB 6] **NGUIFFO B. BOYOM.** *Conjecture des tores plats (Soumis).*
- [NK] **K. NOMIZU.** *On the cohomology of compact homogeneous spaces of nilpotent Lie groups.* Ann. of Math. 59 (1954) 531–538.
- [ON] **A.L. ONISCIK.** *Inclusion relations among transitive compact groups.* Amer. Math. Soc. Translations S.2 50 (1966) 5–58.
- [RA] **S. RAGHUNATHAN.** *Discrete subgroups of Lie groups.* Ergebnisse der Math. 68 Springer Verlag 1972.
- [RC] **C. RAMANUJAM.** *A topological characterisation of the affine plane as an Algebraic Variety.* Ann. of Math. 94 (1971) 69–88.
- [R.W] **J. ROELS and A. WEINSTEIN.** *On functions whose Poisson brackets are constant.* J. Math. Phys. 12. 1482–1486.
- [SA] **M. SATO.** *Sur certains groupes de Lie résolubles.* Sci. pap. Univ. Tokyo 7 (1957) I–II ; 157–168.
- [SE] **J.P. SERRE.** *GAGA.* Ann. Inst. Fourier 6 (1956) 1–42.
- [TH] **W. THURSTON.** *Some simple of symplectic manifolds.* Proc. Amer. Math. Soc. 55 (1976) 456–478.
- [WL] **A. WEILL.** *Introduction à l'étude des variétés kählériennes.* Hermann Paris 1958.
- [WN] **A. WEINSTEIN.** *Symplectic manifolds and their lagrangian submanifolds.* Adv. In Math. 6 (1971) 329–346.
- [WO] **N.M.J. WOODHOUSE.** *Geometric quantization.* Oxford Math. Monographs. Larendon Press Oxford.